

۱. دستگاههای متشکل از ذرات یکسان با اسپین نیم فرد (یعنی  $1/2, 3/5, 5/2, \dots$ ) با توابع موج پادمقارن توصیف می‌شوند. این نوع ذرات را فرمیون می‌نامند. فرمیونها از آمار فرمی-دیراک پیروی می‌کنند.

۲. دستگاههای متشکل از ذرات یکسان با اسپین درست (یعنی  $0, 1, 2, \dots$ ) با توابع موج پادمقارن توصیف می‌شوند. این ذرات بوزون نامیده می‌شوند و از آمار بوز-آیشتین پیروی می‌کنند. ما بیشتر با الکترونها، پروتونها و نوترونها که اسپین  $1/2$  دارند و با بوزونهای اسپین  $0$ ، که بدون نشان اسپینی هستند، سروکار داریم.

قانون بالا به حالت‌های  $N$  ذره‌ای گسترش می‌یابد. برای دستگاهی متشکل از  $N$  فرمیون یکسان، تابع موج تحت تعویض هر جفت ذره پادمقارن است. برای مثال، یک تابع موج سه ذره‌ای، که درست پادمقارن شده است، به صورت زیر است

$$\begin{aligned} \psi^{(A)}(1, 2, 3) = & \frac{1}{N_{ra}} [\psi(1, 2, 3) - \psi(2, 1, 3) + \psi(2, 3, 1) \\ & - \psi(3, 2, 1) + \psi(3, 1, 2) - \psi(1, 3, 2)] \end{aligned} \quad (49-8)$$

در حالی که تابع موج سه بوزون یکسان عبارت است از

$$\begin{aligned} \psi^{(S)}(1, 2, 3) = & \frac{1}{N_{rs}} [\psi(1, 2, 3) + \psi(2, 1, 3) + \psi(2, 3, 1) \\ & + \psi(3, 2, 1) + \psi(3, 1, 2) + \psi(1, 3, 2)] \end{aligned} \quad (50-8)$$

باید تأکید کنیم که برای بیشتر از دو ذرهٔ یکسان اصولاً می‌توان تقارن آمیخته داشت: به عنوان مثال، تابع موج تحت تبدلهای  $(1, 2)$  و  $(1, 3)$  پادمقارن اما تحت تبادل  $(2, 3)$  متقارن است. اما اصل پاؤلی این حالت‌های متقارن آمیخته را رد می‌کند.

### $N$ فرمیون در یک چاه پتانسیل

اکنون یک مورد خاص بسیار جالب توجه را بررسی می‌کنیم که در آن  $N$  فرمیون با یکدیگر برهم‌کنش ندارند اما با یک پتانسیل مشترک برهم‌کنش می‌کنند. در این مورد داریم

$$H = \sum_{i=1}^N H_i \quad (51-8)$$

که در آن

$$H_i = \frac{p_i^2}{2m} + V(x_i) \quad (52-8)$$

ویژه حالت‌های هامیلتونی تک ذره‌ای را به  $u_{E\sigma_k}(x_k)$  نشان می‌دهیم. [www.arsanjan.blogfa.com](http://www.arsanjan.blogfa.com)

$$H_k u_{E\sigma_k}(x_k) = E_k u_{E\sigma_k}(x_k) \quad (53-8)$$

واضح است که به ازای هر مقدار  $E_k$  دو مقدار ممکن برای نشان اسپینی  $\sigma_k$  داریم. جواب معادله

$$H u_E(1, 2, \dots, N) = E u_E(1, 2, \dots, N) \quad (54-8)$$

عبارت است از

$$u_E(1, 2, 3, \dots, N) = u_{E_1\sigma_1}(x_1) u_{E_2\sigma_2}(x_2), \dots, u_{E_N\sigma_N}(x_N) \quad (55-8)$$

که با حذف نشانهای  $\sigma_i$  که با  $E_i$  همراه هستند، آن را به صورت زیر می‌نویسیم

$$u_E(1, 2, 3, \dots, N) = u_{E_1}(x_1) u_{E_2}(x_2), \dots, u_{E_N}(x_N) \quad (56-8)$$

همچنین داریم

$$E = E_1 + E_2 + \dots + E_N \quad (57-8)$$

اکنون باید تابع موج ۵۶-۸ را پادمتقارن کنیم. اگر تنها دو ذره داشته باشیم، بدیهی است که

$$u^{(A)}(1, 2) = \frac{1}{\sqrt{2}} [u_{E_1}(x_1) u_{E_2}(x_2) - u_{E_1}(x_2) u_{E_2}(x_1)] \quad (58-8)$$

با سه ذره، تابع موج پادمتقارن شده به صورت زیر است

$$\begin{aligned} u^{(A)}(1, 2, 3) = & \frac{1}{\sqrt{6}} [u_{E_1}(x_1) u_{E_2}(x_2) u_{E_3}(x_3) - u_{E_1}(x_2) u_{E_2}(x_1) u_{E_3}(x_3) \\ & + u_{E_1}(x_2) u_{E_2}(x_3) u_{E_3}(x_1) - u_{E_1}(x_3) u_{E_2}(x_2) u_{E_3}(x_1) \\ & + u_{E_1}(x_3) u_{E_2}(x_1) u_{E_3}(x_2) - u_{E_1}(x_1) u_{E_2}(x_3) u_{E_3}(x_2)] \end{aligned} \quad (59-8)$$

برای  $N$  ذره، جواب را می‌توان در قالب یک دترمینان، که دترمینان اسلیتر نامیده می‌شود، نوشت:

$$u^{(A)}(1, 2, \dots, N) = \frac{1}{\sqrt{N!}} \begin{vmatrix} u_{E_1}(x_1) & u_{E_1}(x_2) & \dots & u_{E_1}(x_N) \\ u_{E_2}(x_1) & u_{E_2}(x_2) & \dots & u_{E_2}(x_N) \\ \vdots & \vdots & \ddots & \vdots \\ u_{E_N}(x_1) & u_{E_N}(x_2) & \dots & u_{E_N}(x_N) \end{vmatrix} \quad (۶۰-۸)$$

توجه کنید که در سه معادله بالا نشان  $\sigma_k$  را که با  $E_k$  همراه است حذف کرده‌ایم. بدیهی است که تعویض دو ذره به معنای تعویض دو ستون در این دترمینان است و این به نوبه خود باعث تغییر علامت دترمینان می‌شود. اگر دو الکترون در ویژه‌حالت انرژی یکسانی باشند، به‌عنوان مثال  $E_1 = E_2$ ، و اگر در یک حالت اسپینی باشند، یعنی  $\sigma_1 = \sigma_2$ ، آنگاه دترمینان به‌ازای  $x_1 = x_2$  صفر می‌شود، یعنی این دو الکترون نمی‌توانند در یک مکان باشند. بدین ترتیب، شرط پادمتقارن عامل ایجاد یک برهم‌کنش مؤثر بین دو فرمیون است: می‌بینیم که دو ذره از این نوع می‌خواهند از یکدیگر دور بمانند، زیرا وقتی فاصله بین آنها به صفر میل می‌کند تابع موج مشترک صفر می‌شود. بنابراین، حتی ذرات بدون برهم‌کنش به‌گونه‌ای رفتار می‌کنند که انگار یک برهم‌کنش دافعه میان آنها وجود دارد. خواهیم دید که مجموعه کامل مشاهده‌پذیرهای جابه‌جاشونده برای الکترونها شامل یک مشاهده‌پذیر اضافی دومقداری وابسته به اسپین نیز هست. پس حالتی که در آن انرژی، تکانه زاویه‌ای پاریته، و غیره معین هستند حداکثر با دو الکترون (با متغیر اسپینی مخالف) اشغال می‌شود. این مورد خاصی از اصل طرد پاولی است.

## کی پادمتقارن‌سازی لازم است؟

این حکم که "دو الکترون نمی‌توانند در یک حالت کوانتومی باشند" ایجاب می‌کند که تابع موج دستگاه دو الکترونی نسبت به مختصات این دو الکترون پادمتقارن باشد. این سؤال پیش می‌آید که وقتی یک اتم هیدروژن را روی زمین و یک اتم هیدروژن دیگر را در ماه بررسی می‌کنیم باید نگران این موضوع باشیم؟ اگر این دو اتم در حالت پایه باشند آیا الزاماً باید حالت‌های اسپینی مخالف داشته باشند؟ اگر یک اتم هیدروژن سوم در حالت پایه را در نظر بگیریم چه پیش می‌آید؟ درک شهودی به ما می‌گوید که نگرانی بی‌مورد است، و اشتباه نمی‌کند. برای مشاهده درستی این نتیجه‌گیری، تفاوت میان استفاده از تابع موج کاملاً ناهمبسته دو الکترون

$$\psi_a(x_1)\psi_b(x_2) \quad (۶۱-۸)$$

۱. برای  $N$  بوزون یکسان، تابع موج کاملاً متقارن است، و صورت کلی را می‌توان با بسط دترمینان ۶۰-۸ و تغییر تمام علامتهای منفی به مثبت به دست آورد.

$$\frac{1}{N}(\psi_a(x_1) \psi_b(x_2) - \psi_a(x_2) \psi_b(x_1)) \quad (۶۲-۸)$$

را بررسی می‌کنیم. ضریب بهنجارش  $N$  از شرط زیر تعیین می‌شود

$$\frac{1}{N^2} \int dx_1 \int dx_2 |\psi_2(x_1)\psi_b(x_2) - \psi_a(x_2)\psi_b(x_1)|^2 = 1 \quad (۶۳-۸)$$

که با

$$\int dx |\psi_a(x)|^2 = \int dx |\psi_b(x)|^2 = 1 \quad (۶۴-۸)$$

به صورت زیر درمی‌آید

$$\begin{aligned} N^2 &= 2 \left( 1 + \left| \int dx \psi_a^*(x)\psi_b(x) \right|^2 \right) \\ &\equiv 2(1 + |S_{ab}|^2) \end{aligned} \quad (۶۵-۸)$$

فرض کنید بخواهیم احتمال یافتن الکترون  $a$  را در یک ناحیه فضایی  $R$  محاسبه کنیم. برای تابع موج ناهمبسته ۶۱-۸ که آن را با  $\Psi(x, y) = \psi_a(x)\psi_b(y)$  نشان می‌دهیم، چگالی احتمال از رابطه زیر به دست می‌آید

$$P(R) = \int_R dx \int dy |\psi_a(x)|^2 |\psi_b(y)|^2 = \int_R dx |\psi_a(x)|^2 \quad (۶۶-۸)$$

روی تمام گستره مختصات الکترون  $b$  انتگرال گرفته‌ایم زیرا جای آن برای ما مهم نیست. برای تابع موج پادمتقارن داریم

$$|\Psi(x, y)|^2 = \frac{1}{N^2} [\psi_a^*(x)\psi_b^*(y) - \psi_b^*(x)\psi_a^*(y)][\psi_a(x)\psi_b(y) - \psi_b(x)\psi_a(y)]$$

که باید از آن روی متغیرهای وابسته به الکترون  $a$  در ناحیه  $R$  و روی گستره کامل مختصات مربوط

$$\begin{aligned}
 P_a(R) &= \frac{1}{N^2} \int_R dx |\psi_a(x)|^2 \int_{-\infty}^{\infty} dy |\psi_b(y)|^2 \\
 &+ \frac{1}{N^2} \int_R dy |\psi_a(y)|^2 \int_{-\infty}^{\infty} dx |\psi_b(x)|^2 \\
 &- \frac{1}{N^2} \int_R dx \int_R dy [\psi_a^*(x)\psi_b(x)\psi_b^*(y)\psi_a(y) \\
 &+ \psi_b^*(x)\psi_a(x)\psi_a^*(y)\psi_b(y)] \\
 &= \frac{2}{N^2} \int_R dx |\psi_a(x)|^2 - \frac{2}{N^2} \int_R dx \int_R dy \psi_a^*(x)\psi_b(x)\psi_b^*(y)\psi_a(y)
 \end{aligned} \tag{۶۷-۸}$$

در جمله تداخلی هر دو انتگرال روی ناحیه  $R$  گرفته می‌شوند، زیرا در هر دو انتگرال تابع موجی با شاخص  $a$  وجود دارد. تفاوت میان دو چگالی احتمالی وقتی حائز اهمیت می‌شود که انتگرال همپوشی  $\int_R dx \psi_a^*(x)\psi_b(x)$  در ناحیه  $R$  برای متغیر  $x$  قابل ملاحظه باشد. چون توابع موج برای حالت‌های مقید به طور نمای کاهش می‌یابند، واضح است که این انتگرال وقتی مهم است که آنها به یکدیگر بسیار نزدیک باشند.

برای مثال، یک دستگاه دو الکترونی را در نظر بگیرید که دو الکترون آن با دو بسته موج گاوسی، یکی حول مبدأ و دیگری حول  $x = L$ ، نمایش داده می‌شوند. در محاسبه احتمال یافتن یک الکترون در یک ناحیه  $R$  انتگرال همپوشی  $Ce^{-\beta x^2}$  و  $Ce^{-\beta(x-L)^2}$  به صورت زیر وارد می‌شود

$$C^2 \int_R dx e^{-\beta(x^2+(x-L)^2)}$$

که به سادگی می‌توان دید که متناسب با  $e^{-\beta L^2/2}$  است. بنابراین، اگر  $L$  بزرگ باشد انتگرال همپوشی به سرعت صفر می‌شود، و این درک شهودی که لازم نیست تابع موج الکترون مورد نظر با همه یا با هر یک از الکترونها دور پادمتقارن باشد درست از آب درمی‌آید. اصل طرد پاولی را باید در آنها و مولکولها به حساب آورد نه در وضعیت‌هایی که فاصله آنها از یکدیگر بسیار زیاد است. حتی در شبکه‌های بلوری، که در آنها فاصله بین آنها چند آنگستروم است، همپوشی اغلب کوچک است، و پادمتقارن‌سازی ضرورت ندارد.

**انرژی حالت پایه برای ذرات آزاد در یک جعبه**

یک پیامد جالب اصل طرد پاولی این است که حالت پایه برای  $N$  الکترون در یک پتانسیل تفاوت بسیاری با حالت پایه برای  $N$  بوزون یا  $N$  ذره تمایزپذیر دارد. به عنوان مثال، جعبه پتانسیل نامتناهی

$$\begin{aligned} V(x) &= \infty & x < 0 \\ &= 0 & 0 < x < b \\ &= \infty & b < x \end{aligned} \quad (۶۸-۸)$$

جواب معادلهٔ شرودینگر که در  $x = 0$  و  $x = L$  صفر می‌شود به صورت زیر است

$$u_n(x) = \sqrt{\frac{2}{b}} \sin \frac{n\pi x}{b} \quad (۶۹-۸)$$

که در آن  $n = 1, 2, 3, \dots$ . ویژه‌مقدارهای انرژی عبارت‌اند از

$$E_n = \frac{\hbar^2 \pi^2 n^2}{2mb^2} \quad (۷۰-۸)$$

برای  $N$  بوزون بدون برهم‌کنش، حالت پایه شامل تمام ذرات در حالت  $n = 1$  است، و در نتیجه انرژی با رابطهٔ زیر داده می‌شود

$$E = N \frac{\hbar^2 \pi^2}{2mb^2} \quad (۷۱-۸)$$

و انرژی به‌ازای هر ذره عبارت است از

$$\frac{E}{N} = \frac{\hbar^2 \pi^2}{2mb^2} \quad (۷۲-۸)$$

برای  $N$  فرمیون بدون برهم‌کنش وضعیت کاملاً متفاوت است. در هر یک از حالت‌های  $n = 1, 2, 3, \dots$  تنها دو الکترون می‌توانند وجود داشته باشند، و در نتیجه تعداد حالت‌های اشغال شده  $N/2$  است. بنابراین، انرژی کل برابر است با

$$E = 2 \sum_{n=1}^{N/2} \frac{\hbar^2 \pi^2 n^2}{2mb^2} = \frac{\hbar^2 \pi^2}{mb^2} \frac{N^2}{24} \quad (۷۳-۸)$$

در محاسبهٔ نتیجهٔ بالا،  $N$  را بزرگ گرفته‌ایم، و از این رو مهم نیست که آخرین تراز با یک الکترون اشغال شده است یا با دو الکترون، و از تقریب زیر استفاده کرده‌ایم

$$\sum_{n=1}^{N/2} n^2 \approx \int_1^{N/2} n^2 dx \simeq \frac{1}{3} \left( \frac{N}{2} \right)^3$$

بنابراین، انرژی به‌ازای هر ذره عبارت است از

$$\frac{E}{N} = \frac{\hbar^2 \pi^2}{24mb^2} N^2 \quad (74-8)$$

که با  $N^2$  افزایش می‌یابد. به عبارت دیگر، به‌ازای یک انرژی معین، تعداد بوزونهای که چاه را اشغال می‌کنند متناسب با  $E$  است، در حالی که تعداد فرمیونهای اشغال‌کننده چاه با  $E^{1/2}$  متناسب است. بالاترین ترازی که فرمیونها اشغال می‌کنند ترازی است که برای آن  $n = N/2$  و انرژی آن برابر است با

$$E_F = \frac{\hbar^2 \pi^2 N^2}{\lambda mb^2} \quad (75-8)$$

شاخص پایین  $F$  را به این دلیل نوشته‌ایم که این انرژی را انرژی فرمی می‌نامند. انرژی فرمی را می‌توان برحسب چگالی فرمیونها، که در این مسئله یک‌بعدی برابر است با  $N/b = \rho$ ، نوشت:

$$E_F = \frac{\hbar^2 \pi^2}{\lambda m} \rho^2 \quad (76-8)$$

اهمیت این مطالب را در فصل ۹ خواهیم دید.

اصل طرد نقش فوق‌العاده مهمی در ساختار آنها دارد. تنوع بسیار زیاد خواص شیمیایی عناصر مختلف مستقیماً ناشی از این واقعیت است که تعداد محدودی الکترون می‌توانند یک ویژه‌حالت انرژی معین را اشغال کنند. در این باره در فصل ۱۹ بحث خواهیم کرد.

## مسائل

- ۱-۸ جرم کاهیده یک دستگاه الکترون-پروتون را به‌دست آورید و آن را با جرم کاهیده دستگاه الکترون-دوترون مقایسه کنید. جرم کاهیده دستگاهی متشکل از دو ذره یکسان را تعیین کنید.
- ۲-۸ ثابت کنید عملگر تبادل  $P_{12}$  هرمیتی است.
- ۳-۸ دو الکترون بدون برهم‌کنش را در یک چاه پتانسیل نامتناهی در نظر بگیرید. اگر این دو الکترون در حالت اسپینی یکسان باشند تابع موج حالت پایه را به‌دست آورید.
- ۴-۸ دو الکترون در یک حالت اسپینی یکسان را در نظر بگیرید که با پتانسیل زیر برهم‌کنش دارند

$$V(|x_1 - x_2|) = -V_0 \quad |x_1 - x_2| \leq a$$

$$= 0 \quad \text{هر جای دیگر}$$

کمترین انرژی این حالت دو الکترونی را با فرض اینکه نگاه کل این الکترونها صفر است به دست آورید

[راهنمایی: معادله را به روشی که به ۸-۳۷ از آن حاصل شد جدا کنید و سپس اصل پاولی را به کار ببرید.]

۸-۵ دو ذره یکسان را که با عملگر انرژی زیر توصیف می شوند در نظر بگیرید

$$H = H(p_1, x_1) + H(p_2, x_2)$$

که در آن

$$H(p, x) = \frac{p^2}{2m} + \frac{1}{4}m\omega^2 x^2$$

حرکت مرکز جرم را جدا کنید، و طیف انرژی این دستگاه را به دست آورید. نشان دهید این طیف با طیفی که از حل

$$H\psi(x_1, x_2) = E\psi(x_1, x_2)$$

با

$$\psi(x_1, x_2) = u_1(x_1)u_2(x_2)$$

به دست می آید توافق دارد. درباره واگنی طیف انرژی بحث کنید.  
۸-۶ دو الکترون را که با هامیلتونی زیر توصیف می شوند در نظر بگیرید

$$H = \frac{p_1^2}{2m} + \frac{p_2^2}{2m} + V(x_1) + V(x_2)$$

که در آن به ازای  $x < 0$  و  $x > a$  داریم  $V(x) = \infty$ ، و در بازه  $0 < x < a$  داریم  $V(x) = 0$ .

فرض کنید الکترونها در حالت اسپینی یکسانی باشند، یعنی  $\sigma_1 = \sigma_2$ .

(الف) کمترین انرژی این حالت دو الکترونی را تعیین کنید.

(ب) ویژه تابع انرژی را برای این حالت پایه به دست آورید.

(ج) انرژی و تابع موج اولین حالت برانگیخته را، باز هم با فرض  $\sigma_1 = \sigma_2$ ، به دست آورید.

۸-۷ یک دستگاه دو الکترونی را در نظر بگیرید که برای آن  $\sigma_1 = \sigma_2$  و از این رو لازم نیست

اسپین را در نظر بگیرید. فرض کنید الکترونها به صورت بسته های موج گاوسی حول  $x = a$



www.arsanjan.blogfa.com  
 $x = -a$  هستند، یعنی توابع موج آنها به ترتیب عبارت‌اند از  $(\sqrt{\pi}/\mu)e^{-\mu^2(x-a)^2/2}$  و  $(\sqrt{\pi}/\mu)e^{-\mu^2(x+a)^2/2}$ . یک تابع موج دو الکترونی با بهنجارش مناسب بسازید. فرض کنید  $1/\mu = 0.5 \text{ \AA}$ . برآورد کنید که به‌ازای چه مقادیری از  $a$  می‌توان اثرات اصل پاولی را تا دقت ۱ روی  $1000$  نادیده گرفت.

۸-۸ با استفاده از تابع موج دستگاه دو الکترونی مسئله ۷-۸، احتمال این را محاسبه کنید که فاصله بین دو الکترون در بازه  $(x, x + dx)$  باشد. همچنین نشان دهید که مقدار انتظاری مرکز جرم این دستگاه دو الکترونی برابر است با  $\langle (x_1 + x_2)/2 \rangle = 0$ .

[راهنمایی:  $x_1$  و  $x_2$  را برحسب مختصه مرکز جرم  $X = (x_1 + x_2)/2$  و فاصله  $x = x_1 - x_2$  بنویسید، و تابع موج را برحسب این متغیرها بیان کنید.]

۹-۸ چگالی احتمال مربوط به مسئله ۸-۸ را برحسب  $x$  برای دو مورد (الف)  $1/a = \mu/2$ ، و (ب)  $1/a = 2\mu$  ترسیم کنید. مفهوم فیزیکی نتایج را بیان کنید.

۱۰-۸ فرض کنید در مسئله‌های ۷-۸ تا ۹-۸ به جای الکترون بوزون داریم. تغییر در فرمولها را بنویسید، چگالی احتمال را برحسب  $x$  برای دو فاصله ترسیم کنید، و تفاوت میان فرمیونها و بوزونها را از لحاظ چگالی احتمال توضیح دهید.

## مراجع

به هر یک از مراجع آخر فصل ۶ و همچنین دو کتاب زیر مراجعه کنید.

D S Saxon, *Elementary Quantum Mechanics*, Holden-Day, San Francisco, 1968.

D Park *Introduction to the Quantum Theory*, (3rd Ed) McGraw-Hill, New York, 1992.

## معادله شرودینگر در سه بعد (۱)

هامیلتونی یک ذره که در فضای سه بعدی حرکت می‌کند عبارت است از

$$H = \frac{P_x^2 + p_y^2 + p_z^2}{2m} + V(x, y, z) \quad (۱-۹)$$

در این فصل پتانسیلی را در نظر می‌گیریم که به صورت زیر است

$$V(x, y, z) = V_x(x) + V_y(y) + V_z(z) \quad (۲-۹)$$

به آسانی می‌توان دید که معادله

$$-\frac{\hbar^2}{2m} \left( \frac{\partial^2}{\partial x^2} + \frac{\partial^2}{\partial y^2} + \frac{\partial^2}{\partial z^2} \right) u_E(x, y, z) \quad (۳-۹)$$

$$+ [V_x(x) + V_y(y) + V_z(z)]u_E(x, y, z) = Eu_E(x, y, z)$$

با جداسازی زیر حل می‌شود

$$u_E(x, y, z) = u_{\epsilon_x}(x)v_{\epsilon_y}(y)w_{\epsilon_z}(z) \quad (۴-۹)$$

که در آن تابعهای سمت راست جوابهای معادله‌های زیر هستند

$$\begin{aligned} \left[ -\frac{\hbar^2}{2m} \frac{d^2}{dx^2} + V_1(x) \right] u_{\epsilon_1}(x) &= \epsilon_1 u_{\epsilon_1}(x) \\ \left[ -\frac{\hbar^2}{2m} \frac{d^2}{dy^2} + V_2(y) \right] v_{\epsilon_2}(y) &= \epsilon_2 v_{\epsilon_2}(y) \\ \left[ -\frac{\hbar^2}{2m} \frac{d^2}{dz^2} + V_3(z) \right] w_{\epsilon_3}(z) &= \epsilon_3 w_{\epsilon_3}(z) \end{aligned} \quad (5-9)$$

و

$$E = \epsilon_1 + \epsilon_2 + \epsilon_3$$

### ذره آزاد در جعبه

یک مثال مخصوصاً جالب تعمیم سه بعدی چاه پتانسیل نامتناهی است. اگر جعبه سه بعدی مکعبی به ضلع  $L$  باشد، آنگاه

$$\begin{aligned} V_1(x) &= \infty & x < 0 \\ &= 0 & 0 < x < L \\ &= \infty & L < x \end{aligned} \quad (6-9)$$

و غیره. بنابراین، جواب عمومی عبارت است از

$$u_E(x, y, z) = \left( \frac{2}{L} \right)^{3/2} \sin \frac{n_1 \pi x}{L} \sin \frac{n_2 \pi y}{L} \sin \frac{n_3 \pi z}{L} \quad (7-9)$$

و

$$E = \frac{\hbar^2 \pi^2}{2mL^2} (n_1^2 + n_2^2 + n_3^2) \quad (8-9)$$

توجه کنید که واگنی در این مسئله بسیار زیاد است: تعداد جوابها به ازای یک مقدار معین  $E$  برابر است با تعداد مجموعه‌های اعداد درست  $\{n_1, n_2, n_3\}$  که در ۸-۹ صدق می‌کنند. واگنی معمولاً

ناشی از وجود عملگرهای جابه‌جاشونده  $H_x$ ،  $H_y$  و  $H_z$  هستند، که به صورت زیر تعریف می‌شوند [www.arsanjan.blogfa.com](http://www.arsanjan.blogfa.com)

$$\begin{aligned} H_x &= \frac{p_x^2}{2m} + V_1(x) \\ H_y &= \frac{p_y^2}{2m} + V_2(y) \\ H_z &= \frac{p_z^2}{2m} + V_3(z) \end{aligned} \quad (9-9)$$

و

$$H_x + H_y + H_z = H \quad (10-9)$$

## اثرات اصل طرد

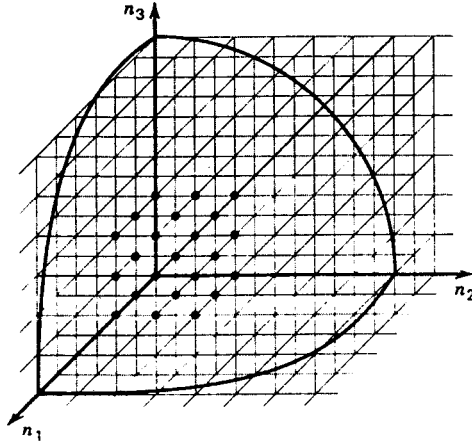
پتانسیلی که در بالا در نظر گرفتیم چنان ساده است که می‌توان از آن برای بحث درباره انرژیهای الکترونیهای بدون برهم‌کنش (و سایر فرمیونهای یکسان) در جعبه سه‌بعدی استفاده کرد. به عنوان اولین گام، بهتر است انرژی حالت پایه  $N$  فرمیون یکسان بدون برهم‌کنش، مثلاً الکترون، را در جعبه‌ای به حجم  $L^3$  به دست آوریم. برای هر سه‌تایی اعداد درست  $(n_1, n_2, n_3)$ ،  $(1, 1, 1)$ ،  $(2, 1, 1)$ ،  $(1, 2, 1)$ ، ... می‌توان دو الکترون در نظر گرفت. مسئله یافتن انرژی را به صورت آسانتری مطرح می‌کنیم: چند سه‌تایی اعداد درست  $(n_1, n_2, n_3)$  وجود دارند که برای آنها  $E$  در  $8-9$  کمتر از انرژی  $E_F$  است؟ هر سه‌تایی یک نقطه شبکه در یک فضای سه‌بعدی تشکیل می‌دهد، و اگر تعداد این نقاط بسیار زیاد باشد، با تقریب بسیار خوب می‌توان گفت که آنها باید در کره‌ای به شعاع  $R$  قرار داشته باشند که بنابه  $8-9$  با رابطه زیر داده می‌شود

$$n_1^2 + n_2^2 + n_3^2 = R^2 = \frac{2mE_F}{\hbar^2 \pi^2} L^2 \quad (11-9)$$

این تعداد برابر است با حجم یک هشتم کره که برای آن تمام  $n_i$ ها مثبت‌اند (شکل ۹-۱). بنابراین، تعداد نقطه‌های شبکه برابر است با

$$\frac{1}{8} \cdot \frac{4\pi}{3} R^3 = \frac{1}{8} \cdot \frac{4\pi}{3} \left( \frac{2mE_F}{\hbar^2 \pi^2} L^2 \right)^{3/2} \quad (12-9)$$

www.arsanjan.blogfa.com



شکل ۹-۱ شمارش حالتها برای دستگاه ذرات مستقل.

و تعداد الکترونها با انرژی کمتر از انرژی  $E_F$  دو برابر این است، یعنی

$$N = \frac{\pi}{3} L^3 \left( \frac{2mE_F}{\hbar^2 \pi^2} \right)^{3/2} \quad (9-13)$$

تعداد الکترونها، چنانکه باید، متناسب با حجم جعبه است. برحسب چگالی الکترونها،

$$n = \frac{N}{L^3} \quad (9-14)$$

داریم

$$E_F = \frac{\hbar^2 \pi^2}{2m} \left( \frac{3n}{\pi} \right)^{2/3} \quad (9-15)$$

انرژی  $E_F$  متعلق به پرانرژی‌ترین الکترون در حالت پایه یک گاز الکترونی به چگالی  $n$  است. این انرژی را انرژی فرمی می‌نامند، و نشان‌گذاری آن با  $F$  به همین دلیل است. برای محاسبه انرژی کل، می‌توان تعداد نقاط شبکه را به صورت

$$\frac{1}{8} \int_{|\mathbf{n}| \leq R} d^3 \mathbf{n} \quad (9-16)$$

نوشت که در آن ضریب  $1/8$  از قید مثبت بودن اعداد درست در ۹-۸ ناشی می‌شود؛ در انتگرال ۹-۱۶ این قید برداشته شده است و ضریب جلوانتگرال به جای آن گذاشته شده است.

این انرژی باید دو برابر شود، زیرا برای هر نقطه شبکه دو الکترون با یک انرژی وجود دارند. بنابراین، انرژی کل برابر است با

$$\begin{aligned} E_{\text{کل}} &= \frac{\hbar^2 \pi^2}{mL^3} \frac{1}{\lambda} \int \mathbf{n}^T d^3 \mathbf{n} \\ &= \frac{\hbar^2 \pi^2}{\lambda m L^3} \frac{4}{3} \pi \int_0^R n^T dn \quad (17-9) \\ &= \frac{\hbar^2 \pi^2}{10 m L^3} R^5 \end{aligned}$$

چون رابطه  $R$  با تعداد الکترونها به صورت زیر است

$$N = 2 \cdot \frac{1}{\lambda} \cdot \frac{4}{3} \pi R^3 \quad (18-9)$$

در نهایت به دست می‌آوریم

$$E_{\text{کل}} = \frac{\hbar^2 \pi^2}{10 m L^3} \left( \frac{3N}{\pi} \right)^{5/3} \quad (19-9)$$

که برحسب چگالی  $n = N/L^3$  به صورت زیر درمی‌آید

$$E_{\text{کل}} = \frac{\hbar^2 \pi^2}{10 m} \left( \frac{3n}{\pi} \right)^{5/3} L^3 \quad (20-9)$$

پیامدهای اصل طرد پاولی کاملاً گیج‌کننده هستند. تعدادی از آنها را پس از ملاحظات زیر بررسی می‌کنیم:

(الف) عدد موج که با  $E = \hbar^2 k^2 / 2m$  در سطح "دریای فرمی" تعریف می‌شود با رابطه زیر داده می‌شود

$$k_F = (3\pi^2 n)^{1/3} \quad (21-9)$$

چون  $k = 2\pi/\lambda$ ، برای طول موج دوبروی به دست می‌آوریم

$$\lambda = 2 \cdot 3\pi^2 n^{-1/3} \quad (22-9)$$

www.arsanjan.blogfa.com

از آنجا که  $n^{-1/3}$  تقریباً برابر با فاصله میان ذره‌ای  $d$  است، نتیجهٔ بالا را می‌توان به صورتی که به آسانی به خاطر سپرده می‌شود بیان کرد:

$$d = \frac{\lambda_F}{2} \quad (23-9)$$

این رابطه چیزی با ارزشتر از یک وسیلهٔ یادسپاری است. چون اصل طرد نمی‌گذارد دو الکترون با اعداد کوانتومی یکسان کنار هم قرار گیرند رابطهٔ بالا به معنای این است که آنها باید دست‌کم به اندازهٔ یک نیم‌موج از هم فاصله داشته باشند.

(ب) اگر تعداد الکترونها را ثابت بگیریم، آنگاه ۹-۱۹ برحسب حجم حاوی الکترونها به صورت زیر درمی‌آید

$$E_{\text{کل}} = \frac{\hbar^2 \pi^2}{10m} \left( \frac{3N}{\pi} \right)^{5/3} V^{-2/3} \quad (24-9)$$

اگر  $N$  بزرگ باشد، این نتیجه عملاً مستقل از شکل حجم است. در محاسبات بالا از مکعب استفاده کردیم زیرا این راه برای محاسبه از همه ساده‌تر است.

## فشار واگنی و کاربردهای اختریفیزیکی

اگر گاز الکترونی را متراکم کنیم الکترونها به یکدیگر نزدیکتر می‌شوند، و در نتیجه طول‌موج دوبروی کاهش می‌یابد، یعنی انرژی زیاد می‌شود. بنابراین، مقاومتی در برابر تراکم ظاهر می‌شود؛ فشار مانع تراکم را فشار واگنی می‌نامند. این فشار با رابطهٔ زیر داده می‌شود

$$p_{\text{واگنی}} = - \frac{\partial E_{\text{tot}}}{\partial V} = \frac{\hbar^2 \pi^2}{10m} \left( \frac{3n}{\pi} \right)^{5/3} \quad (25-9)$$

مدول کپهای  $B$  (عکس تراکم‌پذیری) برای یک ماده به صورت زیر تعریف می‌شود

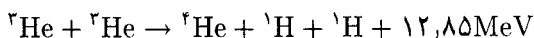
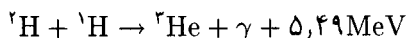
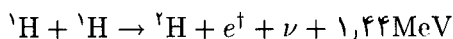
$$B = -V \frac{\partial p}{\partial V} \quad (26-9)$$

و اگر به جای  $p$  فشار واگنی را قرار دهیم به دست می‌آوریم  $B = 5p$ ، و در نتیجه

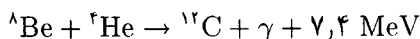
$$B = \frac{\hbar^2 \pi^2}{9m} \left( \frac{3n}{\pi} \right)^{5/3} \quad (27-9)$$

استفاده از الگوی گاز الکترونی واگنی برای ماده مرتبه برابری در صورت مدل کپه‌ای  $B$  را به دست می‌دهد. به عنوان مثال، برای سدیم  $n = 2.65 \times 10^{22} \text{ cm}^{-3}$ ، و در نتیجه  $B = 9.2 \times 10^{10} \text{ dyne/cm}^2$ . مقدار تجربی  $10^{10} \times 6.4 \text{ dyne/cm}^2$  است.

مقاومت در برابر تراکم که منشأ آن در اصل طرد پاؤلی است نقش مهمی در تکامل ستاره‌ای دارد. ستاره‌ها با واکنشهای هسته‌ای متوالی "می‌سوزند". هیدروژن با واکنشهای زیر به هلیم تبدیل می‌شود



وقتی تمام هیدروژن به هلیم تبدیل شد این سوختن متوقف می‌شود. انقباض گرانشی هلیم را متراکم می‌کند تا اینکه هلیم با واکنش زیر شروع به سوختن می‌کند



انواع فرایندهای هسته‌ای زیاده‌تر می‌شوند، و فرایند ترکیب هسته‌ها را اکنون کاملاً می‌دانیم. در یک مرحله، وقتی که ستاره عمدتاً از آهن، سیلیسیم، و عنصرهای مجاور تشکیل شده است، سوختن متوقف می‌شود. آنگاه ماده انقباض گرانشی را از سر می‌گیرد، و تنها مانع در برابر رمبش گرانشی کامل اثر فشار واگنی است.

اگر فرض کنیم چگالی ماده  $\rho$  مستقل از شعاع است و شکل ستاره کروی است، فشار گرانشی به آسانی محاسبه می‌شود. انرژی پتانسیل ماده در پوسته‌ای بین شعاعهای  $r$  و  $r + dr$  برابر است با

$$dV_g = -G \frac{(\frac{4}{3}\pi r^3 \rho)(4\pi r^2 dr)}{r} = -\frac{(4\pi)^2 G \rho^2}{3} r^4 dr \quad (28-9)$$

و در نتیجه انرژی پتانسیل ماده موجود در کره‌ای به شعاع  $R$  عبارت است از

$$V_g = -\frac{(4\pi)^2 G \rho^2}{3} \int_0^R r^4 dr = -\frac{(4\pi)^2}{15} G \rho^2 R^5 \quad (29-9)$$

رابطه میان  $\rho$ ،  $R$  و جرم ستاره  $M$  را هم داریم. ستاره از  $N$  نوکلئون (به صورت آهن، سیلیسیم و



www.arsanjan.blogfa.com

غیره) هر یک به جرم  $m_n$  تشکیل شده است، و از این رو

$$\frac{4\pi}{3}\rho R^3 = M = (NM_n) \quad (30-9)$$

بنابراین، رابطه انرژی پتانسیل گرانشی برحسب حجم ستاره به صورت زیر است

$$V_g = -\frac{3}{5}\left(\frac{4\pi}{3}\right)^{1/3} G(Nm_n)^2 V^{-1/3} \quad (31-9)$$

فشار گرانشی برابر است با

$$p_g = -\frac{\partial V_g}{\partial V} = -\frac{1}{5}\left(\frac{4\pi}{3}\right)^{1/3} G(Nm_n)^2 V^{-4/3} \quad (32-9)$$

این فشار با فشار واکنشی، که بنابه ۲۵-۹ به صورت زیر است، مخالفت می کند

$$p_{\text{واکنشی}} = \frac{\hbar^2 \pi^2}{15m_e} \left(\frac{3n}{\pi}\right)^{5/3} = \frac{\hbar^2 \pi^2}{15m_e} \left(\frac{3N_e}{\pi}\right)^{5/3} V^{-5/3} \quad (33-9)$$

که در آن  $N_e$  تعداد الکترونهاست ستاره است و با تعداد پروتونهاى آن برابر است. با فرض مساوی بودن تعداد پروتونها و نوترونها، داریم  $N_e = N/2$ .

این دو فشار، به ازای یک مقدار معین  $N$ ، وقتی با هم موازنه می کنند که

$$\frac{1}{5}\left(\frac{4\pi}{3}\right)^{1/3} G(Nm_n)^2 V^{-4/3} = \frac{\hbar^2 \pi^2}{15m_e} \left(\frac{3N_e}{\pi}\right)^{5/3} V^{-5/3}$$

یعنی وقتی که شعاع ستاره برابر است با  $R^*$ :

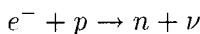
$$R^* = \left(\frac{3}{4\pi}\right)^{1/3} V^{1/3} = \left(\frac{81\pi^2}{128}\right)^{1/3} \frac{\hbar^2}{Gm_e m_n^2} N^{-1/3} \quad (34-9)$$

برای ستاره ای با جرم خورشید داریم

$$N \approx \frac{2 \times 10^{33} \text{g}}{1.67 \times 10^{-24} \text{g}} = 1.2 \times 10^{57}$$

و شعاع ستاره واگن برابر است با  $10^8 \text{ km}$  و برای  $R_n \approx 10^8 \text{ km}$ : شعاع یک ستاره ناواگن مانند خورشید تقریباً  $7 \times 10^8 \text{ km}$  است.

اگر جرم ستاره اندکی بیشتر از جرم خورشید باشد انرژی میانگین الکترونها افزایش می‌یابد. وقتی الکترونها به انرژیهای نسبی می‌رسند رابطه بالا برای فشار واگنی تغییر عمده‌ای پیدا می‌کند. در واقع، انرژی الکترون دیگر  $p^2/2m_e$  نیست بلکه  $pc$  است. می‌توان نشان داد (مسئله ۹-۱) که در این وضعیت فشار واگنی با  $V^{-2/3}$  تغییر می‌کند، و اگر مقدار  $N$  به اندازه کافی بزرگ باشد فشار گرانشی بر فشار واگنی غالب می‌شود. یک نتیجه این فشار خالص زیاد این است که واکنش زیر روی می‌دهد



نوترینوها فرار می‌کنند زیرا ماده، حتی ماده واگن، برای آنها شفاف است، و آنچه می‌ماند یک ستاره نوترونی است. فشار واگنی نوترونها را، که فرمیون هستند و بنابراین از اصل طرد پیروی می‌کنند، می‌توان به همان روش مربوط به فشار الکترون محاسبه کرد و البته به جای  $N_e$  باید  $N$  و به جای  $m_e$  باید  $m_n$  گذاشت. در این مورد به دست می‌آوریم

$$R_n^* = \left( \frac{81\pi^2}{16} \right)^{1/3} \frac{\hbar^2}{Gm_n^2} N^{-1/3} \quad (9-35)$$

برای ستاره‌ای که جرمش دو برابر خورشید است سرانجام به نتیجه  $R_n^* \approx 10^8 \text{ km}$  می‌رسیم. اگر جرم (یا معادل آن  $N$ ) چنان بزرگ باشد که نوترونها نسبی شوند آنگاه موازنه‌ای در برابر فشار گرانشی بسیار زیاد وجود نخواهد داشت، و یک سیاهچاله شکل می‌گیرد.

## مسائل

۹-۱ انرژی فرمی برای گازی از فرمیونها را با این فرض که فرمیونها بدون جرم هستند، و در نتیجه رابطه انرژی-تکانه به صورت  $E = pc$  است، از نو محاسبه کنید.

۹-۲ واگنی حالتها در یک جعبه مکعبی با حجم  $L^3$  را برحسب  $E$  محاسبه کنید، یعنی تعداد حالتها را در بازه  $(E, E + dE)$  به دست آورید و با استفاده از آن چگالی حالت‌های یک گاز الکترونی را، با توجه به اینکه به ازای هر حالت انرژی دو الکترون داریم، تعیین کنید.

[راهنمایی: چند  $(n_1, n_2, n_3)$  وجود دارند که برای آنها  $\sum_i n_i^2 = 2mEL^2/\hbar^2\pi^2$ ]

۹-۳ طیف انرژی الکترونهاي آزاد را در جعبه‌ای به اضلاع  $a, a, L$ ، با فرض  $a \ll L$ ، به دست آورید. درباره فاصله الکترونها به ازای  $a = 10^{-2} \text{ cm}$  و  $L = 10^8 \text{ cm}$  بحث کنید.

۹-۴ چگالی انرژی یک گاز فوتونی را در یک جعبه مکعبی با حجم  $L^3$ ، با توجه به اینکه به ازای

www.arsanjan.blogfa.com

هر حالت انرژی دو فوتون (دو حالت قطبش) وجود دارند، محاسبه کنید.

۵-۹ طیف انرژی یک گاز فوتونی را در جعبه‌ای به اضلاع  $a$ ،  $a$  و  $L$ ، با  $L \ll a$ ، به دست آورید.  
 ۶-۹ با توجه به اینکه چگالی تعداد الکترونهاى آزاد در مس  $^{-3} \text{cm} \times 10^{22}$   $8.5$  است، (۱) انرژی فرمی را برحسب الکترون ولت، و (۲) سرعت الکترونی را که انرژی جنبشی آن برابر با انرژی فرمی است محاسبه کنید.

۷-۹ یک هسته از  $N$  نوترون و  $Z$  پروتون، با  $N + Z = A$ ، تشکیل شده است. اگر شعاع هسته با  $R = r_0 A^{1/3}$  داده شود، که در آن  $r_0 = 1.1 \text{ fm} = 10^{-13} \text{ cm}$ ، و اگر جرمهای نوترون و پروتون تقریباً  $1.6 \times 10^{-24} \text{ g}$  باشند، رابطه انرژی فرمی را برای "گاز" پروتون و "گاز" نوترون، با فرض حرکت آزاد پروتونها و نوترونها، به دست آورید. این انرژیهای فرمی را به ازای  $N = 126$  و  $Z = 82$  تعیین کنید.

۸-۹ یک گاز نوترونی را در حالت پایه در نظر بگیرید که برای آن چگالی جرم  $\rho$  از  $10^{11}$  تا  $10^{16}$  گرم بر سانتیمترمکعب تغییر می‌کند. انرژی فرمی را برحسب  $\rho$  به دست آورید. توجه کنید که در یک نقطه این گاز نوترونی نسبیتی می‌شود. در چه گستره‌ای از چگالیها باید از فرمولهای نسبیتی استفاده کنیم؟

## معادله شرودینگر در سه بعد (۲)

### پتانسیل مرکزی

در این فصل مورد بسیار مهمی را در نظر می‌گیریم که در آن پتانسیل  $V(x, y, z)$  تنها به  $r = \sqrt{x^2 + y^2 + z^2}$  بستگی دارد. برای یک دستگاه دوزره‌ای با پتانسیلی که تنها به فاصله بین دو ذره بستگی دارد، هامیلتونی به صورت زیر است

$$H = \frac{p_1^2}{2m_1} + \frac{p_2^2}{2m_2} + V(|\mathbf{r}_1 - \mathbf{r}_2|) \quad (۱-۱۰)$$

با تجزیه متداول به مختصات مرکز جرم و نسبی

$$\mathbf{R} = \frac{m_1 \mathbf{r}_1 + m_2 \mathbf{r}_2}{m_1 + m_2} \quad (۲-۱۰)$$

$$\mathbf{r} = \mathbf{r}_1 - \mathbf{r}_2$$

www.arsanjan.blogfa.com و با تکانه‌های کل و نسبی

$$\mathbf{P} = \mathbf{p}_1 + \mathbf{p}_2$$

$$\mathbf{p} = \frac{m_2 \mathbf{p}_1 - m_1 \mathbf{p}_2}{m_1 + m_2} \quad (3-10)$$

هامیلتونی به صورت زیر درمی‌آید

$$H = \frac{\mathbf{P}^2}{2M} + \frac{\mathbf{p}^2}{2\mu} + V(|\mathbf{r}|) \quad (4-10)$$

در اینجا  $M$  جرم کل دستگاه است که با رابطه زیر داده می‌شود

$$M = m_1 + m_2 \quad (5-10)$$

و جرم کاهیده  $\mu$  عبارت است از

$$\mu = \frac{m_1 m_2}{M} \quad (6-10)$$

به سادگی می‌توان دید که

$$[P_i, R_j] = \frac{\hbar}{i} \delta_{ij}$$

$$[p_i, r_j] = \frac{\hbar}{i} \delta_{ij} \quad (7-10)$$

و تمام جابه‌جاگرهای دیگر صفر هستند. چون پتانسیل تابع مختصه مرکز جرم  $\mathbf{R}$  نیست، عملگر تکانه کل  $\mathbf{P}$  با  $H$  جابه‌جا می‌شود، و می‌توان ویژه‌تابعهای مشترکی برای  $\mathbf{P}$  و  $H$  به دست آورد. ویژه‌تابعهای  $\mathbf{P}$  عبارت‌اند از

$$U(\mathbf{P}, \mathbf{R}) = \frac{1}{(2\pi\hbar)^{3/2}} e^{i\mathbf{P}\cdot\mathbf{R}/\hbar} \quad (8-10)$$

بنابراین، ویژه‌تابع  $H$  به صورت زیر است

$$\psi(\mathbf{R}, \mathbf{r}) = U(\mathbf{P}, \mathbf{R}) u_E(\mathbf{r}) \quad (9-10)$$

www.arsanjan.blogfa.com به طوری که  $u_E(\mathbf{r})$  در معادله

$$\left( \frac{\mathbf{p}^2}{2\mu} + V(r) \right) u_E(\mathbf{r}) = E u_E(\mathbf{r}) \quad (10-10)$$

که در آن  $E$  انرژی داخلی، یعنی انرژی کل منهای انرژی حرکت دستگاه دوزره‌ای  $P^2/2M$ ، است. معادله ۱۰-۱۰ را به صورت زیر می‌نویسیم

$$\left( -\frac{\hbar^2}{2\mu} \nabla^2 + V(r) \right) u_E(\mathbf{r}) = E u_E(\mathbf{r}) \quad (11-10)$$

### پیامدهای ناوردایی چرخشی

در این بخش نشان می‌دهیم که ۱۰-۱۱ را می‌توان به گونه‌ای جداسازی کرد که تنها مختص شعاعی  $r$  در معادله ویژه مقدراری انرژی ظاهر شود. در مکانیک کلاسیک این جداسازی با استفاده از تکانه زاویه‌ای انجام می‌شود. با

$$\mathbf{L} = \mathbf{r} \times \mathbf{p} \quad (12-10)$$

به دست می‌آوریم

$$\mathbf{L}^2 = (\mathbf{r} \times \mathbf{p}) \cdot (\mathbf{r} \times \mathbf{p}) = r^2 p^2 - (\mathbf{r} \cdot \mathbf{p})^2$$

و در نتیجه

$$\begin{aligned} p^2 &= \frac{1}{r^2} (\mathbf{r} \cdot \mathbf{p})^2 + \frac{1}{r^2} \mathbf{L}^2 \\ &= p_r^2 + \frac{1}{r^2} \mathbf{L}^2 \end{aligned} \quad (13-10)$$

برای پتانسیل مرکزی (وقتی  $V$  تنها به  $r$  بستگی دارد) نیرو شعاعی است و لنگری بر دستگاه وارد نمی‌شود. بنابراین،  $\mathbf{L}$  یک ثابت حرکت است و  $\mathbf{L}^2$  تنها یک عدد است. در نتیجه، معادله

$$E = \frac{1}{2\mu} p_r^2 + V(r)$$

تنها شامل مختص شعاعی است. همین نتیجه برای مکانیک کوانتومی صدق می‌کند. در بقیه این بخش:

۱. عملگر تکانه زاویه‌ای را از شرط ناوردایی بودن هامیلتونی تحت چرخش تعیین می‌کنیم؛ و  
 ۲. معادله شعاعی را به دست می‌آوریم.

ناوردایی تحت چرخش حول محور  $z$

مورد خاص چرخش حول محور  $z$  به اندازه زاویه  $\theta$  را در نظر بگیرید: با

$$\begin{aligned}x' &= x \cos \theta - y \sin \theta \\y' &= x \sin \theta + y \cos \theta\end{aligned}\quad (14-10)$$

به آسانی می‌توان دید که

$$r' = (x'^2 + y'^2 + z'^2)^{1/2} = (x^2 + y^2 + z^2)^{1/2} = r$$

و

$$\begin{aligned}\left(\frac{\partial}{\partial x'}\right)^2 + \left(\frac{\partial}{\partial y'}\right)^2 &= \left(\cos \theta \frac{\partial}{\partial x} - \sin \theta \frac{\partial}{\partial y}\right)^2 + \left(\sin \theta \frac{\partial}{\partial x} + \cos \theta \frac{\partial}{\partial y}\right)^2 \\&= \left(\frac{\partial}{\partial x}\right)^2 + \left(\frac{\partial}{\partial y}\right)^2\end{aligned}$$

چون هامیلتونی یک ویژگی ناوردایی دارد، انتظار داریم، همچنانکه در مورد پاریته و ناوردایی تحت جابه‌جایی دیدیم، یک قانون پایستگی به دست آوریم. برای تعیین عملگرهایی که با  $H$  جابه‌جا می‌شوند، یک چرخش بینهایت کوچک حول محور  $z$  در نظر می‌گیریم. با ننگه داشتن جمله‌هایی که تنها تا مرتبه  $\theta$  هستند، یعنی

$$\begin{aligned}x' &= x - \theta y \\y' &= y + \theta x\end{aligned}\quad (15-10)$$

می‌نویسیم

$$Hu_E(x - \theta y, y + \theta x, z) = Eu_E(x - \theta y, y + \theta x, z) \quad (16-10)$$

اگر این معادله را تا مرتبه اول برحسب  $\theta$  بسط دهیم و معادله

$$Hu_E(x, y, z) = Eu_E(x, y, z) \quad (17-10)$$

www.arsanjan.blogfa.com را از آن کم کنیم، به دست

$$H \left( x \frac{\partial}{\partial y} - y \frac{\partial}{\partial x} \right) u_E(x, y, z) = E \left( x \frac{\partial}{\partial y} - y \frac{\partial}{\partial x} \right) u_E(x, y, z) \quad (۱۸-۱۰)$$

طرف راست این معادله را می‌توان به صورت زیر نوشت

$$\left( x \frac{\partial}{\partial y} - y \frac{\partial}{\partial x} \right) E u_E(x, y, z) = \left( x \frac{\partial}{\partial y} - y \frac{\partial}{\partial x} \right) H u_E(x, y, z) \quad (۱۹-۱۰)$$

اگر تعریف کنیم

$$L_z = \frac{\hbar}{i} \left( x \frac{\partial}{\partial y} - y \frac{\partial}{\partial x} \right) = xp_y - yp_x \quad (۲۰-۱۰)$$

آنگاه از ترکیب ۱۸-۱۰ و ۱۹-۱۰ به دست می‌آوریم

$$(HL_z - L_zH)u_E(x, y, z) = 0$$

چون  $u_E(\mathbf{r})$  ها یک مجموعه کامل تشکیل می‌دهند، این رابطه موجب رابطه عملگری زیر می‌شود

$$[H, L_z] = 0 \quad (۲۱-۱۰)$$

$L_z$  در اینجا مؤلفه  $z$  عملگر تکانه زاویه‌ای زیر است

$$\mathbf{L} = \mathbf{r} \times \mathbf{p} \quad (۲۲-۱۰)$$

اگر چرخش را حول محورهای  $x$  و  $y$  در نظر بگیریم به دو معادله زیر می‌رسیم

$$[H, L_x] = 0$$

$$[H, L_y] = 0 \quad (۲۳-۱۰)$$

بنابراین، سه مؤلفه عملگر تکانه زاویه‌ای با هامیلتونی جابه‌جا می‌شوند، یعنی تکانه زاویه‌ای یک ثابت حرکت است. این نتیجه با این قانون کلاسیک که نیروهای مرکزی پایستگی تکانه زاویه‌ای را ایجاد می‌کنند همسنگ است.



رابطه جابه‌جایی تکانه زاویه‌ای [www.arsanjan.blogfa.com](http://www.arsanjan.blogfa.com)

عملگرهای  $L_x, L_y, L_z$  و  $H$  یک مجموعه کامل از مشاهده‌پذیرهای جابه‌جاشونده تشکیل نمی‌دهند و از این رو نمی‌توانند ویژه‌تابعهای همزمان داشته باشند. برای مثال،

$$\begin{aligned} [L_x, L_y] &= [yp_z - zp_{y'}, zp_x - xp_z] \\ &= [yp_z, zp_x] - [zp_{y'}, zp_x] - [yp_z, xp_z] + [zp_{y'}, xp_z] \\ &= y[p_z, z]p_x + x[z, p_z]p_y \\ &= \frac{\hbar}{i}(yp_x - zp_y) \quad (24-10) \\ &= i\hbar L_z \end{aligned}$$

به همین ترتیب، به دست می‌آوریم

$$[L_y, L_z] = i\hbar L_x \quad (25-10)$$

$$[L_z, L_x] = i\hbar L_y \quad (26-10)$$

رابطه‌های جابه‌جایی ۲۴-۱۰ تا ۲۷-۱۰ را می‌توان در فرمول زیر خلاصه کرد

$$\mathbf{L} \times \mathbf{L} = i\hbar \mathbf{L}$$

یک پیامد این رابطه‌های جابه‌جایی این است که تنها یک مؤلفه  $\mathbf{L}$  را می‌توان با  $H$  برای تشکیل مجموعه مشاهده‌پذیرهای جابه‌جاشونده برگزید. برای اثبات، فرض کنید ویژه‌تابعی از  $L_x$  با ویژه‌مقدار  $l_1$  داریم که به طور همزمان ویژه‌تابع  $L_y$  با ویژه‌مقدار  $l_2$  نیز هست:

$$L_x u = l_1 u$$

$$L_y u = l_2 u$$

بنابراین، باید  $L_x L_y u = l_1 l_2 u$  و  $L_y L_x u = l_2 l_1 u$  در نتیجه، با توجه به ۲۴-۱۰ به دست می‌آوریم  $L_z u = 0$ . اما آنگاه

$$L_y u = \frac{1}{i\hbar}(L_z L_x - L_x L_z)u = \frac{1}{i\hbar}L_z l_1 u = 0$$

این نتیجه ایجاب می‌کند که  $L_z$  و  $L^2$  همزمان نشان داد که  $L_x = 0$ . بنابراین، تنها برای  $L = 0$  هر سه مؤلفه  $L$  می‌توانند ویژه‌تابعهای همزمان داشته باشند. بدین ترتیب، برای تشکیل مجموعه مشاهده‌پذیرهای جابه‌جاشونده تنها یک مؤلفه  $L$  را می‌توان با  $H$  برگزید. اما می‌توان وضعیت را تا حدی بهتر کرد، زیرا، چنانکه  $10-24$  تا  $10-26$  ایجاب می‌کنند،  $L^2$  با هر سه مؤلفه  $L$  جابه‌جا می‌شود:

$$\begin{aligned} [L_z, L^2] &= [L_z, L_x^2 + L_y^2 + L_z^2] = [L_z, L_x^2] + [L_z, L_y^2] \\ &= L_x[L_z, L_x] + [L_z, L_x]L_x + L_y[L_z, L_y] + [L_z, L_y]L_y \\ &= i\hbar L_x L_y + i\hbar L_y L_x - i\hbar L_y L_x - i\hbar L_x L_y \quad (27-10) \\ &= 0 \end{aligned}$$

و غیره. بنابراین، عملگرهای  $H$ ،  $L^2$  و  $L_z$  (که این یکی صرفاً قراردادی است) را به‌عنوان مجموعه کامل مشاهده‌پذیرهای جابه‌جاشونده انتخاب می‌کنیم. می‌توانستیم پارته را هم اضافه کنیم زیرا واضح است که هامیلتونی تحت  $x \rightarrow -x$ ،  $y \rightarrow -y$  و  $z \rightarrow -z$  ناوردا است، اما چنانکه بعداً خواهیم دید با تعیین  $L^2$  پارته نیز تعیین می‌شود.

### جداسازی متغیرها برای معادله شرودینگر

در فصل ۱۱ ویژه‌مقدارها و ویژه‌تابعهای  $L_z$  و  $L^2$  را به‌دست می‌آوریم؛ در اینجا تنها متذکر می‌شویم که با استفاده از آنها حل معادله شرودینگر بسیار ساده‌تر می‌شود. این وضعیت پیامد رابطه‌ای است که در زیر به‌دست می‌آوریم:

$$\begin{aligned} L^2 &= (\mathbf{r} \times \mathbf{p})^2 = [(\mathbf{r} \times \mathbf{p})_x]^2 + [(\mathbf{r} \times \mathbf{p})_y]^2 + [(\mathbf{r} \times \mathbf{p})_z]^2 \\ &= -\hbar^2 \left( y \frac{\partial}{\partial z} - z \frac{\partial}{\partial y} \right) \left( y \frac{\partial}{\partial z} - z \frac{\partial}{\partial y} \right) \\ &\quad - \hbar^2 \left( z \frac{\partial}{\partial x} - x \frac{\partial}{\partial z} \right) \left( z \frac{\partial}{\partial x} - x \frac{\partial}{\partial z} \right) \\ &\quad - \hbar^2 \left( x \frac{\partial}{\partial y} - y \frac{\partial}{\partial x} \right) \left( x \frac{\partial}{\partial y} - y \frac{\partial}{\partial x} \right) \\ &= -\hbar^2 \left[ x^2 \left( \frac{\partial^2}{\partial y^2} + \frac{\partial^2}{\partial z^2} \right) + y^2 \left( \frac{\partial^2}{\partial z^2} + \frac{\partial^2}{\partial x^2} \right) \right] \end{aligned}$$

$$\begin{aligned} & \text{www.arsanjan.blogfa.com} \\ & + z^r \left( \frac{\partial^r}{\partial x^r} + \frac{\partial^r}{\partial y^r} \right) - 2xy \frac{\partial^r}{\partial x \partial y} - 2yz \frac{\partial^r}{\partial y \partial z} \\ & - 2zx \frac{\partial^r}{\partial z \partial x} - 2x \frac{\partial}{\partial x} - 2y \frac{\partial}{\partial y} - 2z \frac{\partial}{\partial z} \end{aligned}$$

و همچنین داریم

$$\begin{aligned} (\mathbf{r} \cdot \mathbf{p})^r &= -\hbar^r \left( x \frac{\partial}{\partial x} + y \frac{\partial}{\partial y} + z \frac{\partial}{\partial z} \right) \left( x \frac{\partial}{\partial x} + y \frac{\partial}{\partial y} + z \frac{\partial}{\partial z} \right) \\ &= -\hbar^r \left( x^r \frac{\partial^r}{\partial x^r} + y^r \frac{\partial^r}{\partial y^r} + z^r \frac{\partial^r}{\partial z^r} + 2xy \frac{\partial^r}{\partial x \partial y} + 2yz \frac{\partial^r}{\partial y \partial z} \right. \\ & \quad \left. + 2zx \frac{\partial^r}{\partial z \partial x} + x \frac{\partial}{\partial x} + y \frac{\partial}{\partial y} + z \frac{\partial}{\partial z} \right) \end{aligned} \quad (28-10)$$

مجموع این دو برابر است با

$$-\hbar^r (x^r + y^r + z^r) \left( \frac{\partial^r}{\partial x^r} + \frac{\partial^r}{\partial y^r} + \frac{\partial^r}{\partial z^r} \right) + \hbar^r \left( x \frac{\partial}{\partial x} + y \frac{\partial}{\partial y} + z \frac{\partial}{\partial z} \right) \quad (29-10)$$

بنابراین، اتحاد زیر را به دست می آوریم

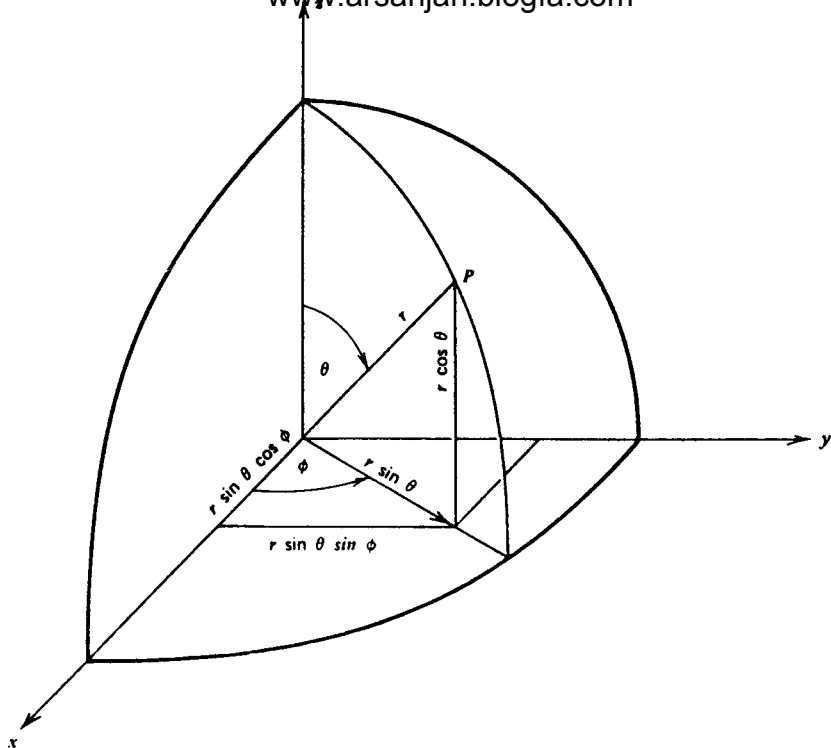
$$\mathbf{L}^r + (\mathbf{r} \cdot \mathbf{p})^r = r^r \mathbf{p}^r + i\hbar \mathbf{r} \cdot \mathbf{p} \quad (30-10)$$

چون با عملگرها سروکار داریم، رعایت ترتیب عوامل ضروری است. از اتحاد بالا نتیجه می گیریم که

$$\mathbf{p}^r = \frac{1}{r^r} \left[ \mathbf{L}^r + (\mathbf{r} \cdot \mathbf{p})^r - i\hbar \mathbf{r} \cdot \mathbf{p} \right] \quad (31-10)$$

این رابطه به این دلیل با نتیجه کلاسیک ۱۳-۱۰ تفاوت دارد که  $\mathbf{p}$  و  $\mathbf{r}$  جابه جا نمی شوند. با

$$\mathbf{p}^r = \frac{1}{r^r} \mathbf{L}^r - \hbar^r \frac{1}{r^r} \left( r \frac{\partial}{\partial r} \right)^r - \hbar^r \frac{1}{r} \frac{\partial}{\partial r} \quad (32-10)$$



شکل ۱-۱۰ تعریف مختصات کروی  $(r, \theta, \phi)$  و رابطه آنها با مختصات دکارتی  $(x, y, z)$ .

معادله شرودینگر به صورت زیر درمی آید

$$-\frac{\hbar^2}{2\mu} \left[ \frac{1}{r^2} \left( r \frac{\partial}{\partial r} \right) \left( r \frac{\partial}{\partial r} \right) + \frac{1}{r} \frac{\partial}{\partial r} - \frac{1}{\hbar^2 r^2} \mathbf{L}^2 \right] u_E(\mathbf{r}) + V(r)u_E(\mathbf{r}) = E u_E(\mathbf{r}) \quad (33-10)$$

اگر در مختصات کروی کارکنیم (شکل ۱-۱۰)، که طبعاً باید چنین باشد، آنگاه تنها عملگری که زاویه‌های قطبی  $\theta$  و  $\phi$  در آن دخالت دارند  $\mathbf{L}^2$  است. بنابراین، اگر ویژه‌تابعها را به صورت زیر بنویسیم

$$u_E(\mathbf{r}) = Y_\lambda(\theta, \phi) R_{E\lambda}(r) \quad (34-10)$$

که در آن  $Y_\lambda$  ویژه‌تابع عملگر  $\mathbf{L}^2$  است:

$$\mathbf{L}^2 Y_\lambda(\theta, \phi) = \lambda Y_\lambda(\theta, \phi) \quad (35-10)$$

آنگاه معادله ۱۰-۳۴ به معادله ویژه مقدری  $L^2$  (معادله ۱۰-۳۵) و یک معادله صرفاً شعاعی (معادله ۱۰-۳۹) تفکیک می‌شود. روش بالا واقعاً تفاوتی با روش مرسوم جداسازی متغیرها ندارد، اما در آن بر نقش تقارن در تعیین مجموعه کامل عملگرهای جابه‌جاشونده تأکید شده است.  $\lambda$  چنانکه باید دارای ابعاد  $\hbar^2$  است، و آن را به صورت زیر می‌نویسیم

$$\lambda = l(l+1)\hbar^2 \quad (36-10)$$

در فصل بعد ثابت می‌کنیم که  $l = 0, 1, 2, 3, \dots$ ، و در تحلیل زیر از این نتیجه استفاده خواهیم کرد. ویژه‌تابعهای عملگر  $L^2$  را در واقع به صورت  $Y_{lm}(\theta, \phi)$  می‌نویسیم که در آن شاخص پایین  $m$  نشان می‌دهد که  $Y_{lm}(\theta, \phi)$  ویژه‌تابع همزمان  $L^2$  و  $L_z$  است:

$$L_z Y_{lm}(\theta, \phi) = m\hbar Y_{lm}(\theta, \phi) \quad (37-10)$$

قبلاً گفتیم که  $l$  یک عدد درست است، و خواهیم دید که  $m$  نیز یک عدد درست است که در  $-l \leq m \leq l$  صدق می‌کند. چون  $Y_{lm}$  ویژه‌تابع عملگرهای هرمیتی است،  $Y_{lm}$ ‌های متناظر با ویژه‌مقدارهای مختلف متعامد هستند. در فصل بعد ثابت می‌کنیم که وقتی این ویژه‌تابعها به‌طور مناسب بهنجار شده باشند، داریم

$$\int d\Omega Y_{l_1 m_1}(\theta, \phi)^* Y_{l_2 m_2}(\theta, \phi) \\ \equiv \int_0^\pi \sin \theta d\theta \int_0^{2\pi} d\phi Y_{l_1 m_1}(\theta, \phi)^* Y_{l_2 m_2}(\theta, \phi) = \delta_{l_1 l_2} \delta_{m_1 m_2} \quad (38-10)$$

## معادله شعاعی

اگر ۱۰-۳۴، ۱۰-۳۵ و ۱۰-۳۶ را در ۱۰-۳۳ بگذاریم، معادله شرودینگر شعاعی زیر را به دست می‌آوریم

$$-\frac{\hbar^2}{2\mu} \left[ \frac{1}{r} \frac{d}{dr} \left( r \frac{d}{dr} \right) + \frac{1}{r} \frac{d}{dr} - \frac{l(l+1)}{r^2} \right] R_{Elm}(r) + V(r)R_{Elm}(r) = ER_{Elm} \quad (39-10)$$

توجه کنید که در این معادله وابستگی به  $m$  وجود ندارد. بنابراین، به‌ازای یک مقدار معین  $l$  همیشه یک واگنی  $(2l+1)$  تایی داریم، زیرا تمام مقادیر ممکن  $m$  دارای یک انرژی هستند. معادله ۱۰-۳۹

را، با حذف شاخص زائد [www.arsanjan.blogfa.com](http://www.arsanjan.blogfa.com) و تواج شعاعی، می‌توان به صورت زیر درآورد

$$\left( \frac{d^2}{dr^2} + \frac{2}{r} \frac{d}{dr} \right) R_{nl}(r) - \frac{2\mu}{\hbar^2} \left[ V(r) + \frac{l(l+1)\hbar^2}{2\mu r^2} \right] R_{nl}(r) + \frac{2\mu E}{\hbar^2} R_{nl}(r) = 0 \quad (40-10)$$

جوابهای این معادله را برای انواعی از پتانسیل بررسی می‌کنیم که در بینهایت سریعتر از  $1/r$  به صفر میل می‌کنند، به‌استثنای مورد مهم پتانسیل کولنی که در فصل ۱۲ بیان خواهیم کرد. همچنین فرض می‌کنیم این پتانسیلها در مبدأ به اندازه  $1/r^2$  تکین نیستند، و در نتیجه

$$\lim_{r \rightarrow 0} r^2 V(r) = 0 \quad (41-10)$$

گاهی بهتر است تابع زیر را وارد کنیم

$$u_{nl}(r) = r R_{nl}(r) \quad (42-10)$$

از آنجا که

$$\left( \frac{d^2}{dr^2} + \frac{2}{r} \frac{d}{dr} \right) \frac{u_{nl}(r)}{r} = \frac{1}{r} \frac{d^2}{dr^2} u_{nl}(r) \quad (43-10)$$

به‌دست می‌آوریم

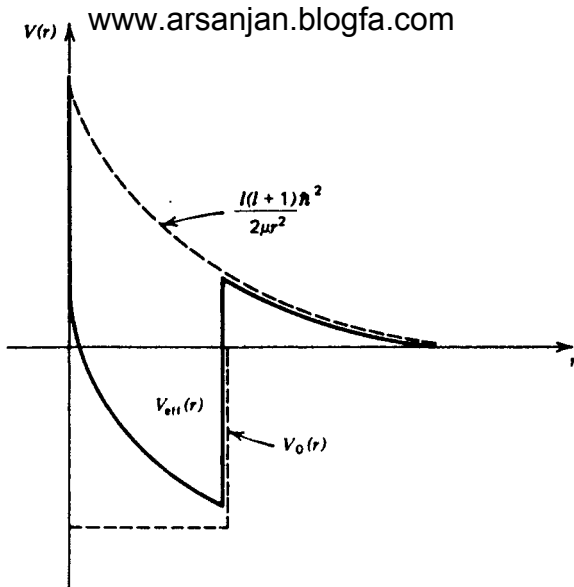
$$\frac{d^2 u_{nl}(r)}{dr^2} + \frac{2\mu}{\hbar^2} \left[ E - V(r) - \frac{l(l+1)\hbar^2}{2\mu r^2} \right] u_{nl}(r) = 0 \quad (44-10)$$

این معادله شباهت بسیار زیادی با معادله یک‌بعدی دارد، بجز اینکه (الف) به پتانسیل  $V(r)$  یک سد دافعه مرکزگریزی اضافه شده است:

$$V(r) \rightarrow V(r) + \frac{l(l+1)\hbar^2}{2\mu r^2} \quad (45-10)$$

(ب) تعریف  $u_{nl}(r)$  و متناهی بودن تابع موج در مبدأ ایجاب می‌کند که

$$u_{nl}(0) = 0 \quad (46-10)$$



شکل ۱۰-۲ پتانسیل مؤثر در معادله شعاعی برای  $u = rR(r)$  وقتی پتانسیل واقعی یک چاه مستطیلی است.

که در نتیجه معادله بیشتر شبیه مسئله یک بعدی می شود که برای آن در ناحیه سمت چپ مبدأ  $V = +\infty$  (شکل ۱۰-۲).

ابتدا معادله شعاعی را، با حذف تمام شاخصهای پایین برای سادگی، در نزدیکی مبدأ در نظر می گیریم. وقتی  $r \rightarrow 0$ ، با نگر داشتن جمله های مهم، معادله شعاعی به صورت زیر درمی آید

$$\frac{d^2 u}{dr^2} - \frac{l(l+1)}{r^2} u \simeq 0 \quad (47-10)$$

زیرا پتانسیل به ازای مقادیر به اندازه کافی کوچک  $r$  وقتی شرط  $10-41$  برقرار باشد سهمی ندارد. اگر حدس زیر را به کار ببریم

$$u(r) \sim r^s \quad (48-10)$$

می بینیم که معادله به شرطی صادق است که

$$s(s-1) - l(l+1) = 0 \quad (49-10)$$

یعنی  $s = l+1$  یا  $s = -l$ . جوابی که در شرط  $u(0) = 0$  صدق می کند، یعنی جوابی که مانند  $r^{l+1}$  رفتار می کند، جواب منظم نامیده می شود. جوابی که مانند  $r^{-l}$  رفتار می کند جواب

نامنظم است. برای تابع موج  $\psi(r)$  [www.arsanjan.blogfa.com](http://www.arsanjan.blogfa.com) و جواب نامنظم به صورت  $r^{-l-1}$  است.

به ازای مقادیر بزرگ  $r$  می توان جمله های پتانسیل را حذف کرد، و معادله به صورت زیر در می آید

$$\frac{d^2 u}{dr^2} + \frac{2\mu E}{\hbar^2} u \simeq 0 \quad (50-10)$$

شرط انتگرال پذیری مجذوری ایجاب می کند که

$$\begin{aligned} 1 &= \int d^3 r |\psi(\mathbf{r})|^2 = \int_0^\infty r^2 dr \int d\Omega |R_{nl}(r) Y_{lm}(\theta, \phi)|^2 \\ &= \int_0^\infty r^2 dr |R_{nl}(r)|^2 \end{aligned} \quad (51-10)$$

یعنی

$$\int_0^\infty dr |u_{nl}(r)|^2 = 1 \quad (52-10)$$

بنابراین، تابع موج باید در بینهایت صفر شود. اگر  $E < 0$ ، و در نتیجه

$$\frac{2\mu E}{\hbar^2} = -\alpha^2 \quad (53-10)$$

جواب مجانبی به صورت زیر است

$$u(r) \sim e^{-\alpha r} \quad (54-10)$$

اگر  $E > 0$ ، جوابهایی که به دست می آوریم تنها در جعبه هنجارپذیر هستند (به بحث مربوط در فصل ۴ مراجعه کنید). با

$$\frac{2\mu E}{\hbar^2} = k^2 \quad (55-10)$$

جواب به ازای مقادیر به اندازه کافی بزرگ  $r$  به طوری که  $V(r)$  قابل چشمپوشی باشد به صورت ترکیبی خطی از  $e^{ikr}$  و  $e^{-ikr}$  است، و ترکیب مناسب از این شرط تعیین می شود که جواب مجانبی به طور پیوسته به جوابی که در مبدأ منظم است متصل شود. اکنون به بررسی چند مثال می پردازیم.



در این مثال  $V(r) = 0$ ، اما هنوز هم یک سد مرکزگیزی وجود دارد. معادله شعاعی  $1^{\circ}$ - $4^{\circ}$  به صورت زیر درمی آید

$$\left[ \frac{d^2}{dr^2} + \frac{2}{r} \frac{d}{dr} - \frac{l(l+1)}{r^2} \right] R(r) + k^2 R(r) = 0 \quad (56-1^{\circ})$$

با معرفی متغیر  $\rho = kr$  به دست می آوریم

$$\frac{d^2 R}{d\rho^2} + \frac{2}{\rho} \frac{dR}{d\rho} - \frac{l(l+1)}{\rho^2} R + R = 0 \quad (57-1^{\circ})$$

یا

$$\frac{d^2 u}{d\rho^2} - \frac{l(l+1)}{\rho^2} u + u = 0$$

این معادله به ازای  $l = 0$  به صورت  $d^2 u/d\rho^2 + u = 0$  درمی آید که جوابهای آن  $\sin \rho$  و  $\cos \rho$  هستند، یعنی جواب منظم عبارت است از

$$R_0(\rho) = \frac{\sin \rho}{\rho} \quad (58-1^{\circ})$$

و جواب نامنظم به صورت زیر است

$$R_0(\rho) = \frac{\cos \rho}{\rho} \quad (59-1^{\circ})$$

به ازای مقادیر دیگر  $l$ ، جوابها را می توان برحسب توابع ساده ای بیان کرد. جواب منظم تابع بسل کروی است که با رابطه زیر داده می شود

$$j_l(\rho) = (-\rho)^l \left( \frac{1}{\rho} \frac{d}{d\rho} \right)^l \left( \frac{\sin \rho}{\rho} \right) \quad (60-1^{\circ})$$

و جواب نامنظم که تابع نویمان کروی نامیده می شود به صورت زیر است

$$n_l(\rho) = -(-\rho)^l \left( \frac{1}{\rho} \frac{d}{d\rho} \right)^l \left( \frac{\cos \rho}{\rho} \right) \quad (61-1^{\circ})$$

از این توابع چند تای اول را [www.arsanjan.blogfa.com](http://www.arsanjan.blogfa.com) را ببینید.

$$\begin{aligned}
 j_0(\rho) &= \frac{\sin \rho}{\rho} & n_0(\rho) &= -\frac{\cos \rho}{\rho} \\
 j_1(\rho) &= \frac{\sin \rho}{\rho^2} - \frac{\cos \rho}{\rho} & n_1(\rho) &= -\frac{\cos \rho}{\rho^2} - \frac{\sin \rho}{\rho} \\
 j_2(\rho) &= \left( \frac{3}{\rho^3} - \frac{1}{\rho} \right) \sin \rho - \frac{3}{\rho^2} \cos \rho \\
 n_2(\rho) &= -\left( \frac{3}{\rho^3} - \frac{1}{\rho} \right) \cos \rho - \frac{3}{\rho^2} \sin \rho
 \end{aligned} \tag{۶۲-۱۰}$$

ترکیبهای مناسب برای مقادیر بزرگ  $\rho$  عبارت‌اند از توابع هنکل کروی

$$h_l^{(1)}(\rho) = j_l(\rho) + i n_l(\rho) \tag{۶۳-۱۰}$$

و

$$h_l^{(2)}(\rho) = [h_l^{(1)}(\rho)]^* \tag{۶۴-۱۰}$$

چند تابع هنکل کروی را هم در زیر می‌نویسیم

$$\begin{aligned}
 h_0^{(1)}(\rho) &= \frac{e^{i\rho}}{i\rho} \\
 h_1^{(1)}(\rho) &= -\frac{e^{i\rho}}{\rho} \left( 1 + \frac{i}{\rho} \right) \\
 h_2^{(1)}(\rho) &= \frac{i e^{i\rho}}{\rho} \left( 1 + \frac{3i}{\rho} - \frac{3}{\rho^2} \right)
 \end{aligned} \tag{۶۵-۱۰}$$

موارد زیر مخصوصاً قابل توجه‌اند.

(الف) رفتار در نزدیکی مبدأ: به ازای  $l \ll \rho$  به دست می‌آوریم

$$j_l(\rho) \approx \frac{\rho^l}{1 \cdot 2 \cdot 3 \cdot \dots \cdot (2l+1)} \tag{۶۶-۱۰}$$

و

$$n_l(\rho) \simeq -\frac{1 \cdot 3 \cdot 5 \cdot \dots \cdot (2l-1)}{\rho^{l+1}} \tag{۶۷-۱۰}$$

(ب) به ازای  $l \gg \rho$  رابطه‌های مجانبی زیر را به دست می آوریم

$$j_l(\rho) \simeq \frac{1}{\rho} \sin\left(\rho - \frac{l\pi}{2}\right) \quad (۶۸-۱۰)$$

و

$$n_l(\rho) \simeq -\frac{1}{\rho} \cos\left(\rho - \frac{l\pi}{2}\right) \quad (۶۹-۱۰)$$

و در نتیجه

$$h_l^{(1)}(\rho) \simeq -\frac{i}{\rho} e^{i(\rho - l\pi/2)} \quad (۷۰-۱۰)$$

جوابی که در مبدأ منظم است به صورت زیر است

$$R_l(r) = j_l(kr) \quad (۷۱-۱۰)$$

و صورت مجانبی آن، با استفاده از ۶۸-۱۰، عبارت است از

$$R_l(r) \simeq -\frac{1}{2ikr} [e^{-i(kr - l\pi/2)} - e^{i(kr - l\pi/2)}] \quad (۷۲-۱۰)$$

### چاه پتانسیل نامتناهی

چاه پتانسیل نامتناهی سه بعدی زیر را در نظر بگیرید

$$V(r) = \begin{cases} 0 & r < a \\ \infty & r > a \end{cases} \quad (۷۳-۱۰)$$

در این مورد، با

$$\frac{2\mu E}{\hbar^2} = k^2 \quad (۷۴-۱۰)$$

جوابی که در  $r = 0$  منظم است عبارت است از

$$R(r) = A j_l(kr) \quad (۷۵-۱۰)$$

و ویژه‌مقدارها از شرط صفر [www.arsanjan.blogfa.com](http://www.arsanjan.blogfa.com) می‌آیند، یعنی از

$$j_l(ka) = 0 \quad (76-10)$$

ریشه‌های این معادله به‌ازای چند مقدار  $l$  در جدول زیر نوشته شده‌اند

$l = 0$	۱	۲	۳	۴	۵
۳٫۱۲	۴٫۴۹	۵٫۷۶	۶٫۹۹	۸٫۱۸	۹٫۳۶
۶٫۲۸	۷٫۷۳	۹٫۱۰	۱۰٫۲۴		
۹٫۴۲					

از  $68-10$  نتیجه می‌گیریم که به‌ازای مقادیر بزرگ  $ka$  (در واقع  $ka \gg l$ ) این ریشه‌ها از  $ka \approx n\pi + l\pi/2$  به‌دست می‌آیند.

مجموعه کامل ویژه‌تابعهای همزمان  $H$ ،  $L^2$  و  $L_2$  عبارت‌اند از

$$u_{nl}(r) = A j_l(k_{ln}r) Y_{lm}(\theta, \phi) \quad (77-10)$$

که در آن  $k_{nl}$ ها از  $j_l(k_{nl}a) = 0$  به‌دست می‌آیند، و  $A$  ضریب بهنجارش است. توجه کنید که به‌ازای هر یک از نامساویهای  $n \neq n'$  و  $l \neq l'$  داریم

$$\int d^3r u_{n'l'}(\mathbf{r}) u_{nl}(\mathbf{r}) = 0 \quad (78-10)$$

تعامل نسبت به اعداد کوانتومی  $l$  و  $m$  به  $Y_{lm}$ ها مربوط می‌شود. تعامل نسبت به عدد  $m$ ، که ویژه‌مقدارهای مختلف انرژی را به‌ازای مقادیر ثابت  $l$  و  $m$  متمایز می‌کند، نیز مسلماً باید وجود داشته باشد، و در واقع در بحث توابع بسط داریم

$$\int_0^a dt j_l(\alpha_m t) j_l(\alpha_n t) = 0 \quad m \neq n \quad (79-10)$$

که در آن  $j_l(\alpha_n) = 0$ . این رابطه هم‌ارز رابطه تعامل توابع شعاعی مربوط به مقادیر مختلف عدد کوانتومی شعاعی  $n$  است.

طیف چاه مستطیلی نامتناهی را می‌توان به‌صورت زیر توصیف کرد: اگر به‌ازای یک مقدار معین  $l$ ، اولین ریشه را با  $n = 1$  نشانگذاری کنیم، دومین ریشه را با  $n = 2$ ، و غیره، و اگر از

$$S : l = 0$$

$$P : l = 1$$

$$D : l = 2$$

$$F : l = 3$$

$$G : l = 4$$

آنگاه ترتیب ترازها به صورت زیر خواهد بود

$$1S; 1P; 1D; 2S; 1F; 2P; 1G; 2D; 1H; 3S; \dots$$

به عنوان یک الگو، هسته را متشکل از نوترونها و پروتونها در یک چاه نامتناهی می گیریم. چون نوترونها و پروتونها ذراتی با اسپین  $1/2$  یعنی فرمیون هستند، بیشتر از دو نوترون و بیشتر از دو پروتون نمی توانند یک حالت معین را اشغال کنند. اگر تنها پروتونها را در نظر بگیریم، می بینیم که در حالت  $1S$  تنها دو پروتون می توانند وجود داشته باشند. برای تراز بعدی ( $1D$ ) داریم  $l = 1$ ، و در نتیجه سه حالت (متناظر با سه مقدار ممکن  $m$ ) وجود دارند، و از این رو این تراز با شش پروتون پر می شود. برای تراز  $1D$ ، با پنج مقدار ممکن  $m$  (زیرا  $l = 2$ )، ده پروتون برای پر کردن این "پوسته" لازم اند. بدین ترتیب، ترازها وقتی پر می شوند که تعداد پروتونها برابر باشد با  $2, 8, 20, 32, 40, 58, 90, 92, 106, \dots$  و همچنین است برای نوترونها. بررسی هسته های واقعی نشان می دهد که برای اعداد "جادویی"  $2, 8, 20, 28, 50, 82, 126, \dots$  هسته ها ویژگیهای خاصی از خود نشان می دهند که می توان آنها را به ترازهای پر، یعنی پوسته های بسته، نسبت داد. تفاوت میان اعداد "جادویی" واقعی و آنهایی که از الگوی ابتدایی بالا به دست می آیند ناشی از آن است که یک پتانسیل اضافی وابسته به اسپین وجود دارد و این پتانسیل ترازها را کم و بیش جابه جا می کند و از این رو ترتیب اعداد تغییر می کند. الگوی پوسته ای هسته، اگر به طور مناسب ساخته شود، بسیاری از خواص هسته ها را توضیح می دهد.

شاید اینکه در نظر گرفتن هسته ها به صورت ذرات مستقل در یک چاه تقریب خوبی به دست می دهد کمی اسرارآمیز به نظر برسد، چون می دانیم نیروهای بین نوکلئونها بسیار قوی هستند. توضیح در اصل طرد نهفته است. هسته ها در یک چاه از طریق برخورد با یکدیگر برهم کنش می کنند. یک برخورد به طور کلی باعث می شود که نوکلئون به حالت کوانتومی دیگری پراکنده شود. در حالت پایه،

پراکندگی صورت نمی‌گیرد زیرا تمام تابع [www.arsanjan.blogfa.com](http://www.arsanjan.blogfa.com) در نتیجه نمی‌تواند به عنوان حالت‌های نهایی قابل دسترسی به‌کار آید.  
در زیر مثال دیگری را بررسی می‌کنیم که مانستهٔ سه‌بعدی تراکسیل و بازتاب از چاهها یا سدهای یک‌بعدی است.

## جوابهای پیوستار برای چاه مربعی پتانسیل زیر را در نظر بگیرید

$$V(r) = -V_0 \quad r < a$$

$$= 0 \quad r > a \quad (۸۰-۱۰)$$

بنابراین، معادلهٔ شعاعی به صورت زیر درمی‌آید

$$\frac{d^2 R}{dr^2} + \frac{2}{r} \frac{dR}{dr} - \frac{l(l+1)}{r^2} R + \frac{2\mu}{\hbar^2} (V_0 + E) R = 0 \quad r < a$$

(۸۱-۱۰)

$$\frac{d^2 R}{dr^2} + \frac{2}{r} \frac{dR}{dr} - \frac{l(l+1)}{r^2} R + \frac{2\mu E}{\hbar^2} R = 0 \quad r > a$$

جواب برای  $r > a$  ترکیبی از جوابهای منظم و نامنظم معادلهٔ بدون میدان است:

$$R_l(r) = B j_l(kr) + C n_l(kr) \quad (۸۲-۱۰)$$

در حالی‌که جواب برای  $r < a$  باید جواب منظم باشد، یعنی

$$R_l(r) = A j_l(\kappa r) \quad (۸۳-۱۰)$$

که در آن، مانند سابق،

$$\kappa^2 = \frac{2\mu(E + V_0)}{\hbar^2} \quad (۸۴-۱۰)$$

از جور کردن  $(1/R_l) dR_l/dr$  در  $r = a$  داریم

$$\kappa \left[ \frac{dj_l(\rho)/d\rho}{j_l(\rho)} \right]_{\rho=\kappa a} = k \left[ \frac{B dj_l/d\rho + C dn_l/d\rho}{B j_l(\rho) + C n_l(\rho)} \right]_{\rho=ka} \quad (۸۵-۱۰)$$

که از آن می‌توان  $C/B$  را به دست آورد. جواب مجانبی عبارت است از

$$\begin{aligned} R_{nl}(r) &\approx \frac{B}{\sqrt{ikr}} (e^{i(kr-l\pi/\gamma)} - e^{-i(kr-l\pi/\gamma)}) \\ &\quad - \frac{C}{\sqrt{kr}} (e^{i(kr-l\pi/\gamma)} + e^{-i(kr-l\pi/\gamma)}) \quad (86-10) \\ &\approx \frac{-C+iB}{\sqrt{kr}} \left[ e^{-i(kr-l\pi/\gamma)} + \frac{C+iB}{C-iB} e^{i(kr-l\pi/\gamma)} \right] \end{aligned}$$

ضریب جلوگروشه، غیر از وابستگی لازم  $1/r$ ، اهمیتی ندارد زیرا دامنه را شرط بهنجارش تعیین می‌کند. رابطه میان دو تابع نمایی دارای اهمیت فیزیکی است. قبل از هر چیز، متذکر می‌شویم که این دو جمله امواج کروی را نشان می‌دهند که یکی ورودی و دیگری خروجی است. در غیاب پتانسیل داریم  $C' = 0$ ، و ضریب موج کروی خروجی  $-1$  می‌شود. در حضور پتانسیل، این ضریب دارای قدرمطلق ۱ است، زیرا از  $10^{-85}$  می‌توان دید که  $B/C'$  حقیقی است. بنابراین،

$$\left| \frac{C+iB}{C-iB} \right|^2 = \frac{1+iB/C'}{1-iB/C'} \times \frac{1-iB/C'}{1+iB/C'} = 1 \quad (87-10)$$

این ضریب را بنابه قرارداد به صورت زیر می‌نویسیم

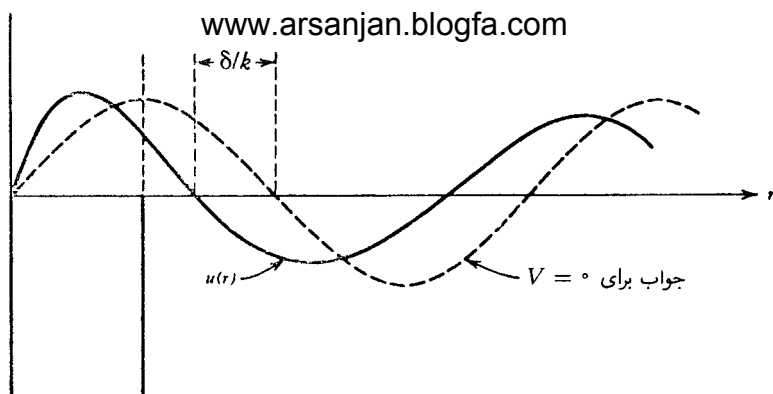
$$\frac{C+iB}{C-iB} \equiv -e^{2i\delta_l(k)} \quad (88-10)$$

(که معادل است با  $C'/B = -\tan\delta_l(k)$ )، و در نتیجه صورت مجانبی جواب شعاعی  $R_{nl}(r)$  عبارت است از

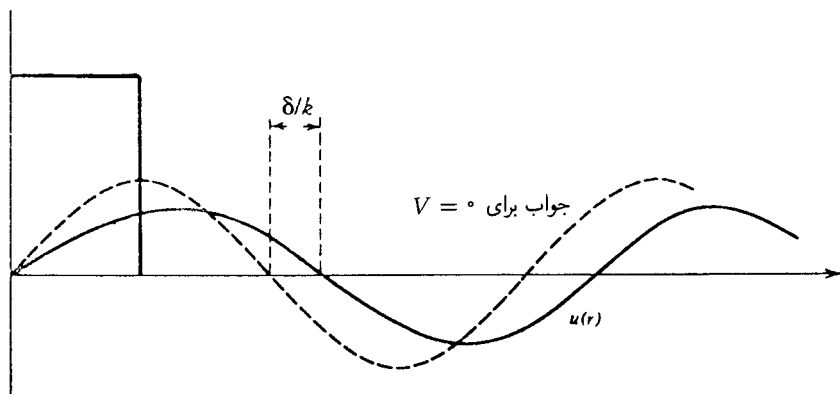
$$R_{nl}(r) \approx \frac{\text{const.}}{r} \sin \left( kr - \frac{l\pi}{\gamma} + \delta_l(k) \right) \quad (89-10)$$

کمیت  $\delta_l(k)$  را به همین دلیل انتقال فاز می‌نامند. در واقع،  $10^{-89}$  صورت مجانبی به‌ازای هر پتانسیل حقیقی است، زیرا مجذور قدرمطلق ضریب موج کروی ورودی باید با مجذور قدرمطلق ضریب موج خروجی برابر باشد. این همان بیان پایستگی شار است: برای یک پتانسیل حقیقی، ذرات نه به وجود می‌آیند و نه پتانسیل آنها را جذب می‌کند.

محاسبه  $C'/B$  از  $10^{-85}$  بجز برای  $l=0$  عملاً پرزحمت است. همچون در مسئله حالت مقید، استفاده از  $u(r) = rR(r) = u(r)$  محاسبه را تا حد زیادی ساده می‌کند. تنها کافی است  $A \sin kr$  را با  $C + B \sin kr$  در  $r = a$  جور کنیم تا رابطه‌ای برای  $\tan \delta_0$  به دست آید.



شکل ۱۰-۳ جواب پیوستار  $u(r) = rR(r)$  برای پتانسیل جاذبه (با  $l = 0$ ).



شکل ۱۰-۴ جواب پیوستار  $u(r) = rR(r)$  برای پتانسیل دافعه (با  $l = 0$ ).

برای این مورد، نمودار کلی نتایج را در شکل‌های ۱۰-۳ و ۱۰-۴ ترسیم کرده‌ایم. این شکل‌ها نشان می‌دهند که پتانسیل جاذبه تمایل دارد تابع موج را "به‌درون بکشد"، در حالی‌که پتانسیل دافعه می‌خواهد آن را "به بیرون براند". در فصل ۴، در بحث نظریه برخورد، به این مطالب باز می‌گردیم.

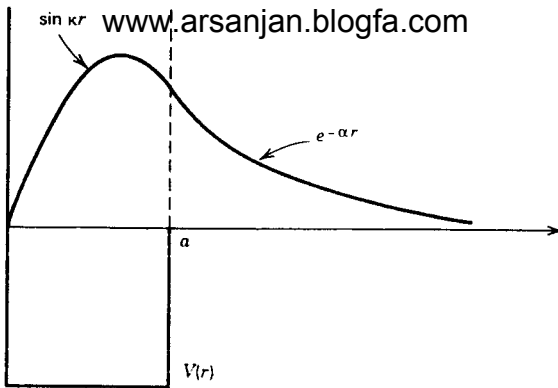
## چاه مربعی، حالت‌های مقید

می‌خواهیم جواب‌های حالت مقید را، که برای آنها  $E < 0$ ، به دست آوریم. می‌نویسیم

$$\frac{\mu}{\hbar^2}(V_0 + E) = \kappa^2 \quad (90-10)$$

$$\frac{\mu}{\hbar^2}E = -\alpha^2$$





شکل ۵-۱۰ نمودار کلی تابع موج  $u(r) = rR(r)$  برای چاه مربعی جاذبه وقتی تنها یک حالت مقید وجود دارد (با  $l = 0$ ).

جواب در  $r < a$ ، که باید در مبدأ منظم باشد، عبارت است از

$$R(r) = A j_l(\kappa r) \quad (91-10)$$

جواب در  $r > a$  باید به ازای  $r \rightarrow \infty$  صفر شود. معادله دوم ۸۱-۱۰ درست معادله مربوط به این تابع بسل کروی است بجز اینکه  $i\alpha$  به جای  $k$  می‌نشیند. جوابی که مانند  $e^{ikr}$  رفتار می‌کند اکنون نمایی نزولی می‌شود، یعنی برای  $r > a$  داریم

$$R(r) = B h_l^{(1)}(i\alpha r) \quad (92-10)$$

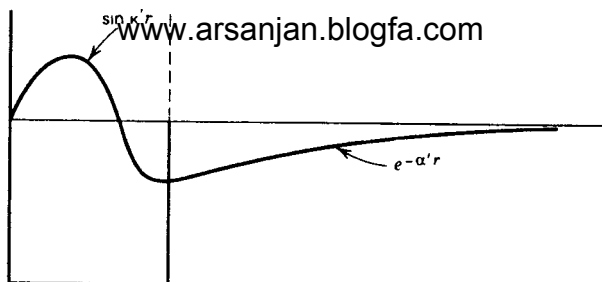
این دو جواب، و همچنین مشتقات آنها، باید در  $r = a$  جور شوند. بنابراین، شرط زیر را به دست می‌آوریم

$$\kappa \left[ \frac{dj_l(\rho)/d\rho}{j_l(\rho)} \right]_{\rho=\kappa a} = i\alpha \left[ \frac{dh_l^{(1)}(\rho)/d\rho}{h_l^{(1)}(\rho)} \right]_{\rho=i\alpha a} \quad (93-10)$$

این یک معادله غیرجبری بسیار پیچیده است که در آن  $l$ ،  $V_0$  و  $E$  دخیل اند. به ازای  $l = 0$  مسئله بسیار ساده می‌شود. برحسب  $u(r) = rR(r)$ ، باز هم به وضعیتی می‌رسیم که با پتانسیل یک بعدی با  $V(x) = \infty$  در  $x < 0$  یکسان است. از فصل ۵ (رابطه ۵-۶۹) می‌دانیم که در این مورد تنها به شرطی یک یا چند حالت مقید داریم که

$$\frac{2mV_0 a^2}{\hbar^2} > \frac{\pi^2}{4}$$

شکلهای ۵-۱۰ و ۶-۱۰ توابع موج مربوط به دو حالت مقید اول را به ازای  $l = 0$  نشان می‌دهند.



شکل ۶-۱۰ نمودار کلی تابع موج  $u(r) = rR(r)$  برای چاه مربعی جاذبه وقتی دو حالت مقید وجود دارند (با  $l = 0$ ). در اینجا تنها تابع موج مربوط به دومین حالت مقید ترسیم شده است.

## مسائل

۱-۱۰ تحقیق کنید که  $P_i, R_i, p_i$  و  $r_i$  در روابط جابه‌جایی ۷-۱۰ صدق می‌کنند.  
 ۲-۱۰ فرض کنید دوترون (متشکل از یک نوترون و یک پروتون، با جرم مساوی) یک حالت مقید با  $l = 0$  است، و پتانسیل یک چاه مربعی به گستره  $r_0 = 2.8 \times 10^{-13} \text{ cm}$  است. اگر انرژی بستگی  $2.18 \text{ MeV}$  باشد، عمق پتانسیل را به دست آورید.

[راهنمایی: حول انرژی بستگی صفر که برای آن  $V_0$  با  $41.5$  داده می‌شود بسط دهید].  
 ۳-۱۰ انتقال فاز  $l = 0$  را برای چاه پتانسیل مربعی محاسبه کنید. با استفاده از روشی که در ۱۰-۸۵ خلاصه شده است، مورد پتانسیل جاذبه و دافعه را به تفصیل بررسی کنید. دربارهٔ حدهای مختلف، مانند مقادیر بزرگ و کوچک  $E$ ، و مقادیر بزرگ و کوچک  $V_0$ ، بحث کنید.  
 ۴-۱۰ نشان دهید برای پراکندگی  $l = 0$  از یک چاه مستطیلی با گسترهٔ اختیاری و عمق  $V_0$  همواره می‌توان انتقال فاز را به صورت زیر نوشت

$$k \cot \delta_0 = -\frac{\lambda}{a} + \frac{r_{\text{eff}} k^2}{2} + \dots (k^4)$$

رابطه‌ای برای  $a$  و  $r_{\text{eff}}$  برحسب پارامترهای چاه به دست آورید.  
 ۵-۱۰ یک پتانسیل با صورت اختیاری که به ازای  $r \geq a$  صفر می‌شود در نظر بگیرید. فرض کنید مشتق لگاریتمی تابع شعاعی در داخل چاه، یعنی

$$\frac{\lambda}{R} \left. \frac{dR(r)}{dr} \right|_{r=a} = f_l(E)$$

برحسب انرژی به کندی تغییر می‌کند. برای  $l = 0$ :  
 (الف) اگر پتانسیل دارای حالت مقیدی با انرژی  $E_B$  باشد، مقدار  $f_0(E_B)$  را محاسبه کنید.

(ب) اگر  $f_0(E)$  مستقل از  $E$  باشد، انتقال فاز را برحسب انرژی به دست آورید.

(ج) اگر  $f_0(E) = f_0(E_B) + (E - E_B)f_0'$ ، چگونه در انتقال فاز وارد می شود؟

ساده تر این است که (ب) و (ج) را برحسب  $k \cot \delta_0(k)$  حل کنید، و این راه بهتری برای ارائه نتایج است.

۶-۱۰ پتانسیل زیر را در نظر بگیرید

$$V(r) = \infty \quad r < a$$

$$V(r) = 0 \quad r > a$$

انتقال فاز  $l = 0$  را محاسبه کنید، و آن را در حد مقادیر بسیار کوچک  $ka$  و همچنین در حد مقادیر بسیار بزرگ  $ka$  به دست آورید. توجه کنید که این پتانسیل الگوی برای کره نفوذناپذیر است.

۷-۱۰ شرط ویژه مقدار مربوط به یک چاه پتانسیل مربعی به گستره  $a$  و عمق  $V_0$  را به ازای  $l = 1$  در نظر بگیرید. رابطه ای به دست آورید که از آن بتوانید مقدار  $V_0$  را برای انرژی بستگی صفر تعیین کنید. ۸-۱۰ نشان دهید که برای چاه مربعی وقتی  $k \rightarrow 0$ ، داریم

$$k^{2l+1} \cot \delta_l(k) \rightarrow \text{const.}$$

۹-۱۰ شار سه بعدی با رابطه زیر داده می شود

$$\mathbf{j} = \frac{\hbar}{2i\mu} [\psi^*(\mathbf{r}) \nabla \psi(\mathbf{r}) - \nabla \psi^*(\mathbf{r}) \psi(\mathbf{r})]$$

انتگرال شار شعاعی روی تمام زاویه ها، یعنی  $\int d\Omega \mathbf{i}_r \cdot \mathbf{j}$ ، را برای توابع موج

$$\psi(\mathbf{r}) = C \frac{e^{\pm ikr}}{r} Y_{lm}(\theta, \phi)$$

با

$$\int d\Omega |Y_{lm}(\theta, \phi)|^2 = 1$$

محاسبه کنید، و نشان دهید این توابع به امواج کروی ورودی و یا خروجی مربوط می شوند.

۱۰-۱۰ نشان دهید شار در راستای سمتی،  $\mathbf{j} \cdot \mathbf{i}_\theta$ ، در مقایسه با  $j_r$  به ازای مقادیر بسیار بزرگ  $r$  قابل چشمپوشی است.

۱۱-۱۰ معادله شعاعی  $\nabla^2 \psi = 0$  در نظر بگیرید [www.jstnar.iut.ac.ir](http://www.jstnar.iut.ac.ir) نامیده می‌شود) در نظر بگیرید

$$V(r) = V_0 [e^{-2(r-r_0)/a} - 2e^{-(r-r_0)/a}]$$

ویژه‌مقدارهای انرژی را با ساده کردن معادله دیفرانسیل به دست آورید. این کار را با وارد کردن متغیر جدید  $x = Ce^{-r/a}$  انجام دهید که در آن  $C$  چنان انتخاب می‌شود که معادله تا حد امکان ساده شود. سپس معادله را به روشی که برای مسئله نوسانگر هماهنگ ساده در فصل ۵ به کار برده شد بررسی کنید. پتانسیل را ترسیم کنید. نشان دهید برای پتانسیل عریض و عمیق حالت‌های مقید پایین تقریباً همان حالت‌های نوسانگر هماهنگ هستند، و علت را توضیح دهید.

### مراجع

خواص عمومی معادلات دیفرانسیل مرتبه دوم در زمینه مکانیک کوانتومی در کتاب زیر بررسی شده‌اند.

پاول جی ل و ب کریسمن، مکانیک کوانتومی، ترجمه پاشایی راد و سعادت، تهران، مرکز نشر دانشگاهی، ۱۳۶۸.

بحث جامعی درباره این معادله‌ها را می‌توان در کتاب زیر ملاحظه کرد

P M Morse and H Feshbach, *Methods of Theoretical Physics*, McGraw-Hill, New York, 1953.



## تکانه زاویه‌ای

### عملگرهای تکانه زاویه‌ای در مختصات کروی

در این فصل ویژه‌مقدارها و ویژه‌تابعهای عملگرهای  $L_z$  و  $L^2$  را به دست می‌آوریم. چون تکانه زاویه‌ای دارای ابعاد  $\hbar$  است، می‌توان معادله‌های ویژه‌مقداری را به صورت زیر نوشت

$$\begin{aligned}L_z Y_{lm} &= m \hbar Y_{lm} \\ L^2 Y_{lm} &= l(l+1) \hbar^2 Y_{lm}\end{aligned}\quad (1-11)$$

که در آن  $m$  و  $l(l+1)$  اعداد حقیقی هستند. مناسب نوشتن ویژه‌مقدار  $L^2$  به این صورت خاص بعداً معلوم خواهد شد. چند روش برای محاسبه وجود دارند. روش مرسوم این است که مؤلفه‌های  $L$  را در مختصات کروی بنویسیم. داریم

$$\begin{aligned}x &= r \sin \theta \cos \phi \\ y &= r \sin \theta \sin \phi \\ z &= r \cos \theta\end{aligned}\quad (2-11)$$

$$\begin{aligned} dx &= \sin \theta \cos \phi dr + r \cos \theta \cos \phi d\theta - r \sin \theta \sin \phi d\phi \\ dy &= \sin \theta \sin \phi dr + r \cos \theta \sin \phi d\theta + r \sin \theta \cos \phi d\phi \quad (3-11) \\ dz &= \cos \theta dr - r \sin \theta d\theta \end{aligned}$$

که از حل آنها به دست می‌آوریم

$$\begin{aligned} dr &= \sin \theta \cos \phi dx + \sin \theta \sin \phi dy + \cos \theta dz \\ d\theta &= \frac{1}{r} (\cos \theta \cos \phi dx + \cos \theta \sin \phi dy - \sin \theta dz) \quad (4-11) \\ d\phi &= \frac{1}{r \sin \theta} (-\sin \phi dx + \cos \phi dy) \end{aligned}$$

با استفاده از این معادله‌ها نتیجه می‌گیریم که

$$\begin{aligned} \frac{\partial}{\partial x} &= \frac{\partial r}{\partial x} \frac{\partial}{\partial r} + \frac{\partial \theta}{\partial x} \frac{\partial}{\partial \theta} + \frac{\partial \phi}{\partial x} \frac{\partial}{\partial \phi} \\ &= \sin \theta \cos \phi \frac{\partial}{\partial r} + \frac{1}{r} \cos \theta \cos \phi \frac{\partial}{\partial \theta} - \frac{\sin \phi}{r \sin \theta} \frac{\partial}{\partial \phi} \\ \frac{\partial}{\partial y} &= \sin \theta \sin \phi \frac{\partial}{\partial r} + \frac{1}{r} \cos \theta \sin \phi \frac{\partial}{\partial \theta} + \frac{\cos \phi}{r \sin \theta} \frac{\partial}{\partial \phi} \\ \frac{\partial}{\partial z} &= \cos \theta \frac{\partial}{\partial r} - \frac{\sin \theta}{r} \frac{\partial}{\partial \theta} \end{aligned} \quad (5-11)$$

بنابراین،

$$L_z = \frac{h}{i} \left( x \frac{\partial}{\partial y} - y \frac{\partial}{\partial x} \right) = \frac{h}{i} \frac{\partial}{\partial \phi} \quad (6-11)$$

با معرفی عملگرهای زیر می‌توان دو مؤلفه دیگر تکانه زاویه‌ای را فشرده‌تر بیان کرد

$$L_{\pm} = L_x \pm iL_y \quad (7-11)$$

$$\begin{aligned}
 L_{\pm} &= \frac{h}{i} \left[ y \frac{\partial}{\partial z} - z \frac{\partial}{\partial y} \pm i \left( z \frac{\partial}{\partial x} - x \frac{\partial}{\partial z} \right) \right] \\
 &= \frac{h}{i} \left[ \pm iz \left( \frac{\partial}{\partial x} \pm i \frac{\partial}{\partial y} \right) \mp i(x \pm iy) \frac{\partial}{\partial z} \right] \quad (۸-۱۱) \\
 &= \pm hr \cos \theta \left( \sin \theta e^{\pm i\phi} \frac{\partial}{\partial r} + \frac{1}{r} \cos \theta e^{\pm i\phi} \frac{\partial}{\partial \theta} \pm \frac{i e^{\pm i\phi}}{r \sin \theta} \frac{\partial}{\partial \phi} \right) \\
 &\mp hr \sin \theta e^{\pm i\phi} \left( \cos \theta \frac{\partial}{\partial r} - \frac{\sin \theta}{r} \frac{\partial}{\partial \theta} \right)
 \end{aligned}$$

بنابراین،

$$L_{\pm} = h e^{\pm i\phi} \left( \pm \frac{\partial}{\partial \theta} + i \cot \theta \frac{\partial}{\partial \phi} \right) \quad (۹-۱۱)$$

اکنون با استفاده از رابطه

$$\begin{aligned}
 L_+ L_- &= (L_x + iL_y)(L_x - iL_y) \\
 &= L_x^2 + L_y^2 - i[L_x, L_y]
 \end{aligned} \quad (۱۰-۱۱)$$

عملگر  $L_z^2$  را به صورت زیر به دست می‌آوریم

$$\begin{aligned}
 L_z^2 &= L_z^2 + L_+ L_- + i[L_x, L_y] \\
 &= L_+ L_- + L_z^2 - hL_z
 \end{aligned} \quad (۱۱-۱۱)$$

در سطر دوم از ۱۰-۲۴ استفاده کرده‌ایم. بدین ترتیب، یک عملگر دیفرانسیلی مرتبه دوم شامل  $\theta$  و  $\phi$  به دست می‌آید، و اکنون می‌توانیم به حل معادله‌های دیفرانسیلی مربوط به ۱۱-۱ بیردازیم. حل این معادله‌ها در بسیاری از کتابهای درسی مکانیک کوانتومی یا الکتروپدینامیک کلاسیک بیان می‌شود. در اینجا معادله دوم ۱۱-۱ را به روش جبری حل می‌کنیم، اما قبل از آن ویژه‌تابعهای  $L_z$  را به دست می‌آوریم.

$$L_z Y_{lm} = m\hbar Y_{lm} \quad (۱۲-۱۱)$$

با استفاده از ۱۱-۶ به صورت زیر درمی آید

$$\frac{\partial}{\partial \phi} Y_{lm}(\theta, \phi) = im Y_{lm}(\theta, \phi) \quad (۱۳-۱۱)$$

و در نتیجه جواب به صورت  $Y_{lm}(\theta, \phi) = \Theta_{lm}(\theta)\Phi_m(\phi)$  است، که در آن  $\Phi_m(\phi)$  جواب معادله زیر است

$$\frac{d\Phi_m(\phi)}{d\phi} = im\Phi_m(\phi) \quad (۱۴-۱۱)$$

این جواب با شرط بهنجارش

$$\int_0^{2\pi} d\phi |\Phi_m|^2 = 1 \quad (۱۵-۱۱)$$

عبارت است از

$$\Phi_m(\phi) = \frac{1}{\sqrt{2\pi}} e^{im\phi} \quad (۱۶-۱۱)$$

گاهی گفته می شود که چون چرخش  $360^\circ$  درجه ای، یعنی تبدیل  $\phi \rightarrow \phi + 2\pi$ ، نباید تغییری در دستگاه ایجاد کند لازم است که

$$e^{2\pi im} = 1 \quad (۱۷-۱۱)$$

و در نتیجه  $m$  یک عدد درست است. این استدلال کاملاً صحیح نیست، زیرا کمتهایی که در مشاهده پذیرهای فیزیکی وارد می شوند از نوع  $A\psi_r(\phi) = \psi_r^*(\phi)$  هستند که در آن توابع موج  $\psi(\phi)$  به صورت زیر بیان می شوند

$$\psi(\phi) = \sum_{m=-\infty}^{\infty} C_m \frac{e^{im\phi}}{\sqrt{2\pi}} \quad (۱۸-۱۱)$$



اگر بخواهیم این توابع موج اختیاری تحت تبدیل  $\phi \rightarrow \phi + 2\pi$  تغییر نکنند (بجز برای یک عامل فاز کلی) به این نتیجه می‌رسیم که کلی‌ترین مقادیر مجاز  $m$  عبارت‌اند از  $m = \text{عدد درست} + c$  که  $c$  در اینجا یک مقدار ثابت است. تنها اگر عملگر  $L_z$  را بخشی از کل مجموعه  $(L_x, L_y, L_z)$  در نظر بگیریم می‌توان چیزی درباره ثابت  $c$  گفت. بعداً استدلال خواهیم کرد که ویژه‌مقدارها حول صفر به صورت متقارن توزیع شده‌اند، و در نتیجه  $c = 0$  یا  $c = 1/2$ ، و برای عملگرهای این فصل تنها مقدار  $c = 0$ ، یعنی این شرط که  $m$  یک عدد درست است، را می‌پذیریم. معادله ویژه‌مقداری  $L_z$  در زمینه دیگری نیز ظاهر می‌شود. یک چرخنده کلاسیک را در نظر بگیرید که در صفحه  $xy$  می‌چرخد. اگر گشتاور لختی  $I$  باشد، انرژی آن برابر است با

$$E = \frac{L_z^2}{2I} \quad (11-19)$$

و در نتیجه هامیلتونی عبارت است از

$$H = \frac{L_z^2}{2I} \quad (11-20)$$

اما به آسانی می‌توان دید که ویژه‌مقدارهای این هامیلتونی به صورت زیر هستند

$$E_m = \frac{h^2 m^2}{2I} \quad (11-21)$$

و ویژه‌تابعها عبارت‌اند از  $e^{\pm im\phi}$ . واگنی وجود دارد، زیرا  $H$  با  $L_z$  جابه‌جا می‌شود، و به‌ازای یک مقدار معین  $E_m$  دو ویژه‌تابع متناظر با دو جهت چرخش وجود دارند. اگر  $N$  ذره را با فاصله‌های زاویه‌ای مساوی  $2\pi/N$  روی یک دایره به‌طور صلب مستقر کنیم، و اگر این ذرات یکسان باشند، جواب معادله ویژه‌مقداری انرژی

$$H\Phi_E(\phi) = E\Phi_E(\phi) \quad (11-22)$$

باز هم به صورت  $e^{\pm i\lambda\phi}$  خواهد بود. این دستگاه فیزیکی تحت چرخش  $2\pi/N$  رادیان (یا مضرب درستی از این زاویه) بدون تغییر می‌ماند، و جوابها باید حاکی از این ناوردایی باشند. همان نوع استدلالهایی که نشان می‌دهند  $m$  باید یک عدد درست باشد اکنون ایجاب می‌کنند که (عدد درست)  $\lambda = N \times$  بنا بر این، انرژی برابر است با

$$E = \frac{h^2 (Nm)^2}{2I} \quad (11-23)$$

## www.arsanjaniblogfa.com عملگرهای افزایشنده

اکنون به معادله‌های ۱۱-۱ باز می‌گردیم، و می‌خواهیم ویژه‌مقدارها را به روشی شبیه به مورد نوسانگر هماهنگ در فصل ۷ به دست آوریم. ویژه‌تاب‌های عملگرهای هرمیتی  $L_x$  و  $L_z$ ، مربوط به ویژه‌مقدارهای مختلف، متعامد هستند، و با بهنجارش مناسب می‌نویسیم

$$\langle Y_{l'm'} | Y_{lm} \rangle = \delta_{ll'} \delta_{mm'} \quad (24-11)$$

از آنجا که

$$\begin{aligned} \langle Y_{lm} | (L_x^2 + L_y^2 + L_z^2) Y_{lm} \rangle &= \langle L_x Y_{lm} | L_x Y_{lm} \rangle + \langle L_y Y_{lm} | L_y Y_{lm} \rangle + m^2 \hbar^2 \\ &\geq 0 \end{aligned} \quad (25-11)$$

نتیجه می‌گیریم که

$$l(l+1) \geq 0 \quad (26-11)$$

عملگرهای  $L_{\pm}$  که در ۱۱-۷ معرفی شدند در تحلیل زیر بسیار مفیدند، و خواهیم دید که در واقع عملگرهای افزایشنده و کاهشنده هستند. قبلاً دیدیم که

$$\mathbf{L}^2 = L_+ L_- + L_z^2 - \hbar L_z \quad (27-11)$$

و می‌توان نشان داد که

$$\mathbf{L}^2 = L_- L_+ + L_z^2 + \hbar L_z \quad (28-11)$$

از این دو رابطه، و همچنین مستقیماً از ۱۰-۲۴، به دست می‌آوریم

$$[L_+, L_-] = 2\hbar L_z \quad (29-11)$$

سایر رابطه‌های جابه‌جایی مربوط عبارت‌اند از

$$\begin{aligned} [L_+, L_z] &= [L_x + iL_y, L_z] = -i\hbar L_y - \hbar L_x \\ &= -\hbar L_+ \end{aligned} \quad (30-11)$$